

CENTRE, COMMUTATIVITÉ ET CONJUGAISON DANS UN GRAPHE DE GROUPE

JEAN-PHILIPPE PRÉAUX^{1 2}

ABSTRACT. We give characterizations of the center, of conjugated and of commuting elements in a fundamental group of a graph of group. We deduce various results : on the one hand we give a sufficient condition for the center, the centralizers, and the root structures in such a group to be in some sense trivial, and on the other hand we prove that for any group G , the conjugacy problem reduces to the same problem in a double of G along any finite family of subgroups.

RÉSUMÉ. Nous caractérisons le centre, les éléments conjugués et les éléments qui commutent dans le groupe fondamental d'un graphe de groupe. Nous en déduisons divers résultats : d'une part nous donnons une condition suffisante pour que le centre, les centralisateurs et la structure des racines d'un tel groupe soient dans un sens triviaux, et d'autre part nous montrons que pour un groupe G quelconque le problème de conjugaison se réduit au même problème dans un double de G le long d'une famille finie quelconque de sous-groupes.

1. INTRODUCTION

Amalgames et extension HNN sont des constructions de théorie des groupe amplement étudiées et fécondes en exemples ([MKS, Ro, LS]. Serre les a généralisé par le concept de groupe agissant sans inversion sur un arbre (nous parlerons ici plutôt de groupe fondamental de graphe de groupe, ou plus abusivement de graphe de groupe) ([Se, DD]).

Nous généralisons ici des résultats connus pour les amalgames au cadre le plus général d'un graphe de groupe. Plus précisément nous donnons une caractérisation du centre, des éléments qui commutent et des éléments conjugués dans le groupe fondamental d'un graphe de groupe (théorèmes 6.1, 6.2 et 6.3), et en particulier dans une extension HNN (théorèmes 5.2, 5.5 et 5.6).

Nous mettons ensuite à profit l'étude effectuée pour établir divers résultats. Nous donnons une condition combinatoire suffisante pour que dans un graphe de groupe les centralisateurs, le centre et la structure des racines soient dans un sens triviaux (théorèmes 6.5, 6.6 et 6.7) ; bien que loin d'être nécessaire cette condition est assez large pour englober de nombreux exemples. Nous montrons aussi que donné un groupe G quelconque et une famille finie quelconque de sous-groupes, le problème de conjugaison dans G se réduit au problème de conjugaison dans le double de G le long de ces sous-groupes (théorème 6.4).

Ce travail est pour une part significative extrait de ma thèse de doctorat ([Pr2]) ; je tiens à remercier chaleureusement mon directeur de thèse Hamish Short pour sa confiance et son soutien durant toutes ces années.

Notations

Nos preuves procédant souvent par disjonction de cas, nous utiliserons dans une démonstration le symbole \square pour dénoter la fin d'un cas, tandis que le symbole \blacksquare dénotera la fin de la preuve.

2. RAPPELS SUR LES PRODUITS AMALGAMÉS ET EXTENSIONS HNN

Nous rappelons les définitions et les propriétés fondamentales d'un produit amalgamé, et d'une extension HNN. Nous ne ferons qu'énoncer les résultats sans en fournir de preuve, le lecteur pouvant se référer aux ouvrages [MKS], [LS], [Ro].

Produits amalgamés. Soient A et B des groupes donnés par les présentations respectives $\langle S \mid R \rangle$ et $\langle S' \mid R' \rangle$. Soient C_A un sous-groupe de A , C_B un sous-groupe de B , et

¹Centre de recherche de l'école de l'air, Ecole de l'air, F-13661 Salon de Provence air,

²C.M.I., Université de Provence, 39 rue F.Joliot-Curie, F-13453 marseille cedex 13.

E-mail : preaux@cmi.univ-mrs.fr

Mathematical subject classification. Primary 20E06, 20E08, 20E34; Secondary 20E45, 20F10, 57M05, 57M99.

$\phi : C_A \longrightarrow C_B$ un isomorphisme. On appelle *produit amalgamé* de A et B le long de ϕ , le groupe que l'on note $A *_\phi B$, donné par la présentation :

$$A *_\phi B \cong \langle S \cup S' \mid R \cup R' \cup \{\phi(c) = c \quad \forall c \in C_A\} \rangle$$

Si les présentations de A et B sont finies, et si C_A est de type fini, $A *_\phi B$ est de présentation finie. En fait si c_1, \dots, c_n est une famille génératrice de C_A , on a la présentation finie :

$$A *_\phi B \cong \langle S \cup S' \mid R \cup R' \cup \{\phi(c_i) = c_i \quad i = 1, \dots, n\} \rangle$$

On considère l'application d'inclusion de S dans $S \cup S'$. Elle s'étend naturellement en un unique homomorphisme du groupe libre $F(S)$, dans le groupe libre $F(S \cup S')$, qui passe au quotient pour donner un homomorphisme de A dans $A *_\phi B$. De la même façon on définit un homomorphisme naturel de B dans $A *_\phi B$, qui étend l'inclusion de S' dans $S \cup S'$.

Proposition 2.1. *Les homomorphismes naturels de A et de B dans $A *_\phi B$, sont injectifs.*

On les appellera les plongements naturels, et on les notera respectivement $i_A : A \longrightarrow A *_\phi B$ et $i_B : B \longrightarrow A *_\phi B$. L'image de A est appelée premier facteur, celle de B deuxième facteur. On ne distinguera pas en général A et B de leur image $i_A(A)$ ou $i_B(B)$. Ainsi A et B seront considérés comme des sous-groupes de $A *_\phi B$. De plus, les sous-groupes $i_A(C_A)$ et $i_B(C_B)$ de $A *_\phi B$, sont confondus, en un sous-groupe que l'on note C ; en fait : $C = i_A(C_A) = i_B(C_B) = i_A(A) \cap i_B(B)$. Nous pourrions dire, de façon quelque peu imprécise, que $A *_\phi B$ est un amalgame de A et B , le long du sous-groupe C , et le noter $A *_C B$.

Si g est un élément de $A *_\phi B$, une *forme normale* pour g , est une suite finie (g_1, g_2, \dots, g_n) d'éléments de $A *_\phi B$, vérifiant les conditions :

- $\forall i = 1, \dots, n, g_i \in A \setminus C$, ou $g_i \in B \setminus C$.
- $\forall i = 1, \dots, n-1$, si $g_i \in A$, alors $g_{i+1} \in B$.
- $g = g_1 g_2 \cdots g_n$ dans $A *_\phi B$.

Puisque $A *_\phi B$ a pour famille génératrice $S \cup S'$, où S engendre A , S' engendre B et que $A \cap B = C$ dans $A *_\phi B$, alors clairement, tout élément admet une forme normale. Dans un certain sens, cette forme normale est unique. C'est le théorème fondamental des produits libres amalgamés.

Théorème 2.1 (Forme normale). *Considérons un élément g de $A *_\phi B$, ainsi que (g_1, g_2, \dots, g_n) et $(g'_1, g'_2, \dots, g'_m)$ deux formes normales de g . Alors $m = n$, $\forall i = 1, \dots, n, g_i$ et g'_i sont dans un même facteur, et $g_i^{-1} g'_i \in C$.*

L'entier n sera appelé *longueur* de l'élément g , et noté $|g|$. En particulier $|g| = 1$ si et seulement si g est dans un des facteurs.

Nous utiliserons plutôt la formulation suivante : si (g_1, g_2, \dots, g_n) est une forme normale pour g , où les g_i sont des mots sur S ou sur S' , alors le mot $g_1 g_2 \cdots g_n$ représente g dans $A *_\phi B$, et pourra être dénommé d'*écriture sous forme réduite*.

Extension HNN. Soit A un groupe, C_{-1} et C_{+1} des sous-groupes de A , et $\phi : C_{-1} \longrightarrow C_{+1}$ un isomorphisme. Si A admet pour présentation $\langle S \mid R \rangle$, on appelle *extension HNN* de A , relativement à ϕ , le groupe que l'on notera $A *_\phi$, de présentation,

$$A *_\phi \cong \langle S \cup \{t\} \mid R \cup \{t^{-1} c t = \phi(c) \quad \forall c \in C_{-1}\} \rangle$$

Si le sous-groupe C_{-1} admet une famille génératrice finie, c_1, \dots, c_n , alors $A *_\phi$ admet la présentation finie,

$$A *_\phi \cong \langle S \cup \{t\} \mid R \cup \{t^{-1} c_i t = \phi(c_i) \quad \forall i = 1, \dots, n\} \rangle$$

On considère l'application identité de S dans S . Elle s'étend de façon unique en un homomorphisme de $F(S)$ dans $F(S \cup \{t\})$, qui passe au quotient pour donner un homomorphisme naturel de A dans $A *_\phi$.

Proposition 2.2. *L'homomorphisme naturel de A dans $A *_\phi$ est un plongement.*

On note $i_A : A \longrightarrow A*\phi$ le plongement naturel. Nous confondrons A et son image $i_A(A)$ par i_A , ainsi nous verrons A comme un sous-groupe de $A*\phi$.

Etant donné un élément $\gamma \in A*\phi$, une *forme normale* pour g , est une suite finie d'éléments de $A*\phi$, de la forme $(g_0, t^{\varepsilon_1}, g_1, t^{\varepsilon_2}, \dots, t^{\varepsilon_n}, g_n)$, vérifiant :

- $\forall i = 0, \dots, n, g_i \in A$, et $\forall i = 1, \dots, n, \varepsilon_i = \pm 1$.
- $\forall i = 1, \dots, n-1$, si $\varepsilon_{i+1} = -\varepsilon_i$, alors $g_i \notin C_{\varepsilon_i}$.
- $g = g_0 t^{\varepsilon_1} g_1 t^{\varepsilon_2} \dots t^{\varepsilon_n} g_n$ dans $A*\phi$.

Une *forme réduite* pour g est un mot sur $S \cup \{t\}$, de la forme $g_0 t^{\varepsilon_1} g_1 t^{\varepsilon_2} \dots t^{\varepsilon_n} g_n$, où les g_i sont des mots sur S , et $(g_0, t^{\varepsilon_1}, g_1, t^{\varepsilon_2}, \dots, t^{\varepsilon_n}, g_n)$ est une forme normale pour g .

Un mot de la forme $t^\varepsilon c t^{-\varepsilon}$, où $\varepsilon = \pm 1$, et $c \in C_\varepsilon$, est appelé un *pinch*. Si un mot contient un tel pinch, l'opération consistant à remplacer ce sous-mot par le mot $\phi^{-\varepsilon}(c)$, ne change pas l'élément de $A*\phi$ représenté. Ainsi, clairement tout élément admet une forme normale.

Le théorème suivant, fondamental pour les extensions HNN, garantit l'unicité d'une forme normale. Il est connu sous le nom de lemme de Britton.

Théorème 2.2 (Lemme de Britton). *L'élément $1 \in A*\phi$, admet pour unique forme normale, la suite (1).*

On en déduit facilement que si g admet deux formes normales $(g_0, t^{\varepsilon_1}, g_1, t^{\varepsilon_2}, \dots, t^{\varepsilon_n}, g_n)$ et $(g'_0, t^{\mu_1}, g'_1, t^{\mu_2}, \dots, t^{\mu_m}, g'_m)$, alors nécessairement, $n = m$, $\forall i = 1, \dots, n, \varepsilon_i = \mu_i$, et $g'_0{}^{-1}g_0 \in C_{-\varepsilon_1}$ et $g_n g'_n{}^{-1} \in C_{\varepsilon_n}$. On appelle *longueur* de g , notée $|g|$, l'entier défini par $|g| = n + 1$. Ainsi, $|g| = 1$ si et seulement si $g \in A$.

3. RAPPELS SUR LES GRAPHE DE GROUPE

Un *graphe fini* X est la donnée de deux ensembles finis \mathcal{A}_X et \mathcal{S}_X , d'une involution sans point fixe $j : \mathcal{A}_X \longrightarrow \mathcal{A}_X$, et de deux applications $o, e : \mathcal{A}_X \longrightarrow \mathcal{S}_X$, vérifiant $\forall a \in \mathcal{A}_X, e(a) = o \circ j(a)$.

Les éléments de \mathcal{A}_X seront appelés des *arêtes*, et les éléments de \mathcal{S}_X , des *sommets*. On notera $-a = j(a)$, et les arêtes a et $-a$ seront dites opposées. Si a est une arête, $\{a, -a\}$ sera appelé une *arête non-orientée*.

Une *orientation* de X , est un sous-ensemble \mathcal{A}_X^+ de \mathcal{A}_X , contenant, pour tout $a \in \mathcal{A}_X$, exactement un élément de l'ensemble $\{a, -a\}$. Un graphe muni d'une orientation sera dit *orienté*.

Un *chemin* de X est une suite finie d'arêtes, $c = (a_1, \dots, a_n)$, qui vérifie pour tout $i = 1, \dots, p-1, e(a_i) = o(a_{i+1})$. Les sommets $o(a_1)$ et $e(a_n)$, sont appelés respectivement origine et extrémité du chemin c . Le chemin est dit *fermé* si $o(a_1) = e(a_n)$. Il est dit *réduit*, si $\forall i = 1, \dots, p-1, a_i \neq -a_{i+1}$.

Un graphe X est dit *connexe*, si pour tout couple de sommets, s_1, s_2 , il existe un chemin de X ayant pour origine s_1 , et pour extrémité s_2 .

Un graphe est un *arbre*, si pour tout couple de sommets s_1, s_2 , il existe un unique chemin réduit d'origine s_1 et d'extrémité s_2 . C'est un fait bien connu, que tout graphe fini X contient un arbre maximal, *i.e.* un sous-graphe qui est un arbre, et qui a même sommets que X . Il n'est en général pas unique.

Un *graphe de groupe* (\mathcal{G}, X) est la donnée d'un graphe fini connexe, orienté, et d'une famille \mathcal{G} , consistant en : un ensemble $\mathcal{G}\mathcal{A}_X = \{G_a, a \in \mathcal{A}_X^+\}$ de groupes, appelés *groupes d'arête*, un ensemble $\mathcal{G}\mathcal{S}_X = \{G_s, s \in \mathcal{S}_X\}$ de groupes, appelés *groupes de sommet*, et pour tout $a \in \mathcal{A}_X^+$, les monomorphismes $\phi_a : G_a \longrightarrow G_{o(a)}$ et $\phi_{-a} : G_a \longrightarrow G_{e(a)}$.

Un *lacet* dans (\mathcal{G}, X) est une suite de la forme $(g_0, a_1, g_1, \dots, a_n, g_n)$, où (a_1, a_2, \dots, a_n) est un chemin fermé de X , et $\forall k = 1, \dots, n, g_{k-1} \in G_{o(a_k)}$, et $g_n \in G_{e(a_n)}$. On dit qu'il a pour origine $o(a_1)$.

Il existe une relation d'équivalence \equiv pour les lacets de (\mathcal{G}, X) , engendrée par les relations :

$$\begin{aligned} \forall a \in \mathcal{A}_X, \forall h \in G_a, \forall g \in G_{o(a)} \quad & (g, a, \phi_{-a}(h), -a, \phi_a(h)^{-1}) = (g) \\ \forall a \in \mathcal{A}_X, \forall g, g' \in G_{o(a)}, \quad & (g, a, 1, -a, g') = (gg') \end{aligned}$$

Si s_0 est un sommet de X , l'ensemble des lacets d'origine s_0 , admet une opération, appelée opération de concaténation :

$$(g_0, a_1, \dots, a_p, g_p) \cdot (g_{p+1}, a_{p+1}, \dots, a_n, g_{n+1}) = (g_0, a_1, \dots, a_p, g_p g_{p+1}, a_{p+1}, \dots, a_n, g_{n+1})$$

Cette opération passe au quotient sous la relation \equiv en une opération sur l'ensemble des classes d'équivalence de lacets basés en s_0 , qui admet dès-lors une structure de groupe. On l'appelle le *groupe fondamental* de (\mathcal{G}, X) , basé en s_0 , et on le note $\pi_1(\mathcal{G}, X, s_0)$. Si tous les groupes de sommets (et donc les groupes d'arêtes) sont triviaux, on retrouve le groupe fondamental de X basé en s_0 .

Le théorème qui suit est un résultat fondamental pour les graphes de groupe. C'est le seul résultat sur les graphes de groupe que nous emploierons pour mener à bien notre étude, délaissant ici le concept de groupe agissant sans inversion sur un arbre (cf. [Se], [DD]).

Théorème 3.1. *Soient (\mathcal{G}, X) un graphe de groupe, s_0 un sommet de X , et T un arbre maximal de X .*

Alors $\pi_1(\mathcal{G}, X, s_0)$ est le groupe obtenu à partir du produit libre $(\ast_{s \in \mathcal{S}_X} G_s) \ast F$, où F est le groupe libre engendré par $\{t_a; a \in \mathcal{A}_X\}$, en ajoutant les relations :

$$\begin{aligned} \phi_a(h) &= t_a \phi_{-a}(h) t_a^{-1} & \forall a \in \mathcal{A}_X^+, \forall h \in G_a \\ t_{-a} &= t_a^{-1} & \forall a \in \mathcal{A}_X \\ t_a &= 1 & \forall a \in \mathcal{A}_X \cap \mathcal{A}_T \end{aligned}$$

Remarque 1 : Ainsi $\pi_1(\mathcal{G}, X, s_0)$ ne dépend pas du choix du point de base s_0 . On parlera du groupe fondamental de (\mathcal{G}, X) que l'on notera $\pi_1(\mathcal{G}, X)$.

Remarque 2 : Un graphe de groupe (\mathcal{G}, X) , muni d'un arbre maximal T de X , est appelé *graphe décomposé*. On pourra le noter (\mathcal{G}, X, T) . Donné un arbre maximal T de X , un élément de \mathcal{A}_T^+ sera appelé *arête T -séparante* ; un élément de $\mathcal{A}_X^+ \cap (\mathcal{A}_X \setminus \mathcal{A}_T)$ sera appelé *arête non T -séparante*.

Remarque 3 : Si $X = T$ est un arbre, $\pi_1(\mathcal{G}, X)$ est l'amalgame des groupes de sommets $G_s, s \in \mathcal{S}_T$, le long des isomorphismes $\phi_{-a} \circ \phi_a^{-1}$ définis pour tout $a \in \mathcal{A}_T^+$. Ainsi pour tout $s \in \mathcal{S}_T$, on a le morphisme injectif $p_s : G_s \hookrightarrow \pi_1(\mathcal{G}, T)$

Si X n'est pas un arbre, $\pi_1(\mathcal{G}, X)$ est l'extension HNN de $\pi_1(\mathcal{G}, T)$, le long des isomorphismes $p_{e(a)} \circ \phi_{-a} \circ \phi_a^{-1} \circ p_{o(a)}^{-1}$ pour toute arête a non T -séparante. Ainsi on a le morphisme injectif $\Pi : \pi_1(\mathcal{G}, T) \hookrightarrow \pi_1(\mathcal{G}, X)$

On a donc, pour tout sommet $s \in \mathcal{S}_T = \mathcal{S}_X$, un plongement naturel $\Pi_s = \Pi \circ p_s$ de G_s dans $\pi_1(\mathcal{G}, X)$. Ces plongements ne dépendent que de la donnée d'un arbre maximal T de X . Lorsque T sera fixé (ce qui sera toujours le cas), on commettra l'abus de langage de confondre $\Pi_s(G_s)$ avec G_s . Ainsi on pourra voir G_s comme un sous-groupe de $\pi_1(\mathcal{G}, X)$. Un tel sous-groupe de $\pi_1(\mathcal{G}, X)$ sera appelé *sous-groupe de sommet*.

Pour toute arête a T -séparante d'origine s_1 et d'extrémité s_2 , les applications de G_a dans $\pi_1(\mathcal{G}, X)$, $\Pi_{s_1} \circ \phi_a$ et $\Pi_{s_2} \circ \phi_{-a}$ sont égales. On confondra G_a et $\Pi_{s_1} \circ \phi_a(G_a) = \Pi_{s_2} \circ \phi_{-a}(G_a) \subset G_{s_1} \cap G_{s_2} \subset \pi_1(\mathcal{G}, X)$.

Soit $a \in \mathcal{A}_X$ une arête, d'origine s_1 et d'extrémité s_2 , on notera $G_a^- = \Pi_{s_1} \circ \phi_a(G_a)$ et $G_a^+ = \Pi_{s_2} \circ \phi_{-a}(G_a)$, ainsi que φ_a , l'isomorphisme de G_a^- dans G_a^+ , défini par $\varphi_a(h) = \Pi_{s_2} \circ \phi_{-a} \circ \phi_a^{-1} \circ \Pi_{s_1}^{-1}(h)$ pour tout $h \in G_a^-$. Si a est T -séparante, les applications $\Pi_{s_1} \circ \phi_a$ et $\Pi_{s_2} \circ \phi_{-a}$ sont identiques, ainsi $G_a^- = G_a^+ = G_a$, et $\varphi_a = \varphi_{-a}$ est l'identité. Si a est non T -séparante, en général $G_a^- \neq G_a^+$, et dans $\pi_1(\mathcal{G}, X)$, on a la relation $\forall h \in G_a^-, \quad h = t_a \varphi_a(h) t_a^{-1}$. Les sous-groupes G_a^-, G_a^+ de $\pi_1(\mathcal{G}, X)$ seront appelés *sous-groupes d'arête*. Notons que $G_a^- \subset G_{o(a)} = G_{s_1}$, $G_a^+ \subset G_{e(a)} = G_{s_2}$.

Remarque 4 : Soit (\mathcal{G}, X) un graphe de groupe, et Y un sous-graphe orienté de X (*i.e.* X et Y sont d'orientations compatibles). On peut construire un *sous-graphe de groupe* (\mathcal{G}', Y) de (\mathcal{G}, X) en se restreignant aux groupes de sommet $\mathcal{G}'\mathcal{S}_Y = \{G_s \in \mathcal{G}\mathcal{S}_X; s \in \mathcal{S}_Y\}$, aux graphes d'arête $\mathcal{G}'\mathcal{A}_Y = \{G_a \in \mathcal{G}\mathcal{A}_X; a \in \mathcal{A}_Y\}$ et aux monomorphismes de \mathcal{G} , ϕ_a et ϕ_{-a} pour tout $a \in \mathcal{A}_Y^+ \subset \mathcal{A}_X^+$.

Dans la suite, on notera (\mathcal{G}, Y) au lieu de (\mathcal{G}', Y) . Observons que $\pi_1(\mathcal{G}, Y)$ se plonge naturellement dans $\pi_1(\mathcal{G}, X)$.

Soit (\mathcal{G}, X, T) un graphe de groupe décomposé. Si a est une arête non T -séparante (resp. T séparante) on note X_1 (et X_2) la (les) composante(s) connexe(s) du graphe $X \setminus \{a, -a\}$. Alors $\pi_1(\mathcal{G}, X)$ se décompose en une extension HNN (en un amalgame) de $\pi_1(\mathcal{G}, X_1)$ (et $\pi_1(\mathcal{G}, X_2)$) le long de φ_a . On dira que l'on a *décomposé* (\mathcal{G}, X, T) le long de l'arête a .

Remarque 5 : Ce théorème fournit implicitement une présentation pour le groupe fondamental $\pi_1(\mathcal{G}, X)$, d'un graphe de groupe décomposé (\mathcal{G}, X, T) . Si de plus les groupes de sommet sont finiment présentés, et les groupes d'arête de type fini, alors $\pi_1(\mathcal{G}, X)$ est finiment présenté. Lorsque les présentations finies et les familles génératrices sont fixées, une telle présentation de (\mathcal{G}, X) sera appelée *présentation canonique* de $\pi_1(\mathcal{G}, X)$. La famille génératrice donnée par cette présentation, sera notée $\mathcal{G}en(X)$.

4. EXEMPLE : GRAPHE DE GROUPE ET DÉCOMPOSITION JSJ

4.1. Théorème Jaco-Shalen-Johannson. Soit W une surface compacte, à deux faces, proprement plongée dans une 3-variété M . On notera $\sigma_W(M)$ la 3-variété obtenue en décomposant M le long de W . Plus précisément, si $\mathcal{T}_1, \mathcal{T}_2, \dots, \mathcal{T}_n$ sont les composantes connexes de W , on peut trouver des voisinages réguliers des composantes, $V(\mathcal{T}_1), \dots, V(\mathcal{T}_n)$, deux à deux disjoints, et $\sigma_W(M)$ est défini par :

$$\sigma_W(M) = M - \bigcup_{i=1}^n \text{int}(V(\mathcal{T}_i))$$

La 3-variété $\sigma_W(M)$ est en général non connexe. Si $W \neq \emptyset$, toutes les composantes connexes de $\sigma_W(M)$ sont à bord non vide. Nous pouvons dès-lors énoncer le théorème de décomposition des variétés Haken fermées (cf. [JS] corollaire V.5.1.):

Théorème 4.1 (Jaco-Shalen-Johannson). *Soit M une 3-variété Haken ∂ -irréductible, fermée ou à bord torique. Il existe une surface compacte W proprement plongée dans M , incompressible, à deux faces, unique à isotopie ambiante de M près, vérifiant les propriétés suivantes :*

- (i) *Les composantes connexes de W sont des tores.*
- (ii) *Chaque composante connexe de $\sigma_W(M)$ est soit un fibré de Seifert, soit atoroidale.*
- (iii) *W est minimale pour l'inclusion, dans la classe des surfaces vérifiant (i) et (ii).*

Remarque : Avec le théorème d'hyperbolisation de Thurston (cf. [Th]), les composantes connexes de $\sigma_W(M)$ admettent soit une fibration de Seifert, soit une structure hyperbolique de volume fini.

4.2. Décomposition d'une 3-variété en pièces élémentaires. Dans tout ce paragraphe, on note M une 3-variété vérifiant les hypothèses du théorème 4.1.

On appelle *décomposition* de M , une surface W incompressible, à deux faces, proprement plongée dans M , vérifiant les conditions (i) et (ii), du théorème 4.1. On appelle *décomposition JSJ* une décomposition de M minimale au sens du théorème 4.1. On dira que la décomposition est *triviale* si $W = \emptyset$.

Considérons une décomposition W de M . Il existe une application canonique, *l'application d'identification*, $r : \sigma_W(M) \rightarrow M$, qui est telle que $r^{-1}(W)$ consiste en deux copies homéomorphes de W dans ∂M , et que r restreinte à $r^{-1}(M - W)$ soit un homéomorphisme.

Notons $\mathcal{T}_1, \dots, \mathcal{T}_i, \dots, \mathcal{T}_k$ les composantes connexes de W . Puisque \mathcal{T}_i est à deux faces, $r^{-1}(\mathcal{T}_i)$ consiste en deux copies homéomorphes de \mathcal{T}_i dans $\partial \sigma_W(M)$; on les note arbitrairement \mathcal{T}_i^- et \mathcal{T}_i^+ . Les restrictions de r à \mathcal{T}_i^- et \mathcal{T}_i^+ sont des homéomorphismes sur \mathcal{T}_i . On définit alors l'homéomorphisme $f_i : \mathcal{T}_i^- \rightarrow \mathcal{T}_i^+$, qui fait commuter le diagramme suivant :

$$\begin{array}{ccc} \mathcal{T}_i^- & \xrightarrow{f_i} & \mathcal{T}_i^+ \\ r|_{\mathcal{T}_i^-} \downarrow & & \downarrow r|_{\mathcal{T}_i^+} \\ \mathcal{T}_i & \xrightarrow{\text{Id}} & \mathcal{T}_i \end{array}$$

On appellera f_i , l'homéomorphisme associé à \mathcal{T}_i , et de façon moins précise, un tel f_i , un *homéomorphisme associé à la décomposition*.

On note M_1, \dots, M_p , les composantes connexes de $\sigma_W(M)$; on les appelle les *pièces élémentaires*. Ainsi,

$$M \cong \left(\bigcup_{i=1 \dots p} M_i \right) /_{f_1, \dots, f_p}$$

4.3. Graphe de groupe provenant de la décomposition JSJ. Soit M une 3-variété Haken, à bord torique non vide. Notons $\mathcal{T}_1, \dots, \mathcal{T}_q$ les composantes connexes de ∂M . On appelle **système périphéral** de $\pi_1(M)$, la donnée pour tout $i = 1, \dots, q$, d'un plongement $p_i : \mathbb{Z} \oplus \mathbb{Z} \hookrightarrow \pi_1(M)$ induit par l'inclusion de \mathcal{T}_i dans M (il est déterminé par la donnée d'une classe d'homotopie de chemin du point de base de $\pi_1(M)$ au point de base de $\pi_1(\mathcal{T}_i)$).

On se donne une variété Haken M vérifiant $\chi(M) = 0$, et une décomposition W de M . On note $\mathcal{T}_1, \dots, \mathcal{T}_q$ les composantes de W , M_1, \dots, M_p les pièces élémentaires, et f_1, \dots, f_q les homéomorphismes associés à la décomposition. On considère aussi un système périphéral de $\pi_1(M)$. On note pour $i = 1, \dots, q$, le plongement de $\pi_1(\mathcal{T}_i^-)$ dans $\pi_1(M)$, $p_i^- : \mathbb{Z} \oplus \mathbb{Z} \hookrightarrow \pi_1(M)$ et le plongement de $\pi_1(\mathcal{T}_i^+)$ dans $\pi_1(M)$, $p_i^+ : \mathbb{Z} \oplus \mathbb{Z} \hookrightarrow \pi_1(M)$ et l'on note f_{i*} l'application de $p_i^-(\mathbb{Z} \oplus \mathbb{Z})$ sur $p_i^+(\mathbb{Z} \oplus \mathbb{Z})$ induite par f_i .

On construit un *graphe de groupe associé* à la décomposition W de M , de la façon suivante :

Le graphe orienté X est défini par : $\mathcal{S}_X = \{S_1, \dots, S_j, \dots, S_p\}$ et $\mathcal{A}_X^+ = \{a_1, \dots, a_i, \dots, a_q\}$ avec l'origine de a_i , $o(a_i) = S_r$ où $\mathcal{T}_i^- \subset M_r$, et l'extrémité de a_i , $e(a_i) = S_t$ où $\mathcal{T}_i^+ \subset M_t$.

Les groupes de sommets et les groupes d'arête sont définis respectivement par : $G_{S_j} = \pi_1(M_j)$, $j = 1, \dots, p$ et $G_{a_i} = \mathbb{Z} \oplus \mathbb{Z}$, $i = 1, \dots, q$ et les monomorphismes par $\phi_{a_i} = p_i^-$, et $\phi_{-a_i} = f_{a_i*} \circ p_i^-$. Alors, avec les notations de la remarque 3 du théorème 3.1, $G_{a_i}^- = p_i^-(\mathbb{Z} \oplus \mathbb{Z})$, $G_{a_i}^+ = p_i^+(\mathbb{Z} \oplus \mathbb{Z})$, et $\varphi_{a_i} = f_{a_i*}$. On a bien construit un graphe de groupe, (\mathcal{G}, X) . Ce graphe dépend de W , et du choix d'un système périphéral. La classe d'isomorphisme de son groupe fondamental n'en dépend pas.

Le résultat suivant, s'obtient par une suite d'applications du théorème de Van-Kampen.

Théorème 4.2. *Soit M une variété Haken, et W une décomposition. Le groupe fondamental du graphe de groupe associé (\mathcal{G}, X) , est isomorphe au groupe fondamental de M .*

Exemple : Considérons l'entrelacs à 3 composantes, L de S^3 (figure 1). Considérons trois tores

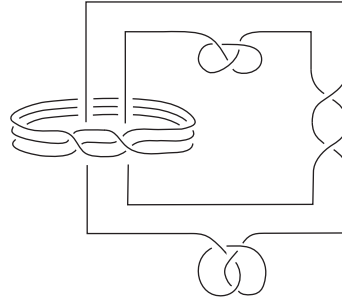


FIGURE 1. L'entrelacs L de S^3

essentiels \mathcal{T}_1 , \mathcal{T}_2 , et \mathcal{T}_3 dans le complément de L , $S^3 - \text{int}(N(L))$, donnés figure 2. En décomposant $S^3 - \text{int}(N)(L)$ le long de $\mathcal{T}_1 \cup \mathcal{T}_2 \cup \mathcal{T}_3$, on obtient les variétés N_1, N_2, N_3, N_4 (ce sont des compléments d'entrelacs dans S^3), ainsi que des homéomorphismes f_1, f_2, f_3 associés à la décomposition (figure 3). Il est facile de voir que N_1 est un fibré en cercle sur la sphère à 3 trous ; N_2 est un fibré de Seifert ayant pour base la sphère à 2 trous, et une fibre exceptionnelle d'indice 3 ; et N_3 et N_4 contiennent tous deux un tore essentiel. On note \mathcal{T}_4 le tore essentiel de N_3 (figure 4), et on décompose N_3 le long de \mathcal{T}_4 . Notons aussi \mathcal{T}_5 le tore essentiel de N_4 (figure 5), et décomposons N_4 le long de \mathcal{T}_5 . Notons $M_1 = N_1$, $M_2 = N_2$, M_3, M_4 les pièces obtenues en décomposant N_3 le long de \mathcal{T}_4 (où M_4 est le trèfle), et M_5, M_6 les pièces obtenues en décomposant N_4 le long de \mathcal{T}_5 (où M_6 est le noeud de huit). Les pièces M_3 et M_5 sont homéomorphes au S^1 -fibré trivial

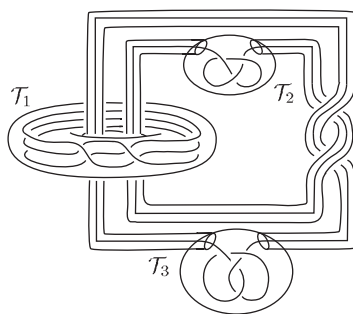


FIGURE 2. Les tores essentiels \mathcal{T}_1 , \mathcal{T}_2 , et \mathcal{T}_3 de $S^3 - \text{int}(N(L))$

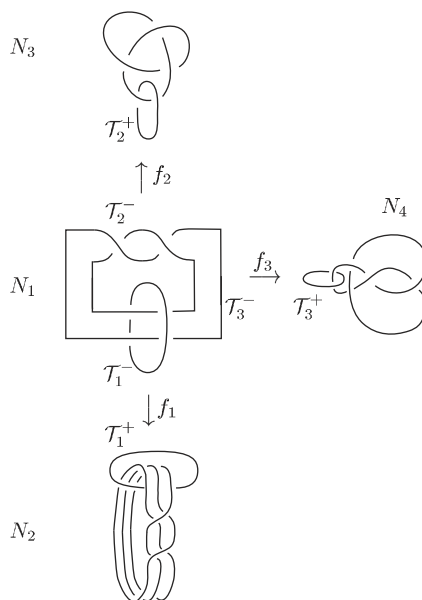


FIGURE 3. Les pièces élémentaires N_1, N_2, N_3, N_4 , et les homéomorphismes f_1, f_2, f_3 associés à la décomposition

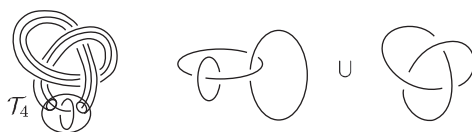


FIGURE 4. Le tore essentiel \mathcal{T}_4 de M_2 (à gauche), et les deux pièces obtenues en décomposant M_2 le long de \mathcal{T}_4 (à droite)

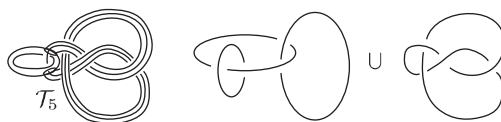


FIGURE 5. Le tore essentiel de M_3 (à gauche) et les deux pièces obtenues en décomposant le long de \mathcal{T}_5

ayant pour base la sphère à trois trous. De plus le complément du trèfle est un fibré de Seifert, et le noeud de huit est connu pour avoir un complément hyperbolique (de volume fini). Ainsi, la surface $W = \mathcal{T}_1 \cup \mathcal{T}_2 \cup \mathcal{T}_3 \cup \mathcal{T}_4 \cup \mathcal{T}_5$ est une décomposition du complément de l'entrelacs L . En

utilisant la classification des compléments d'entrelacs admettant une fibration de Seifert ([BM]), on vérifie immédiatement que W est minimale. Il est facile de se donner des homéomorphismes f_1, f_2, f_3, f_4 , et f_5 associés à la décomposition (figure 6). On peut remarquer, bien que cela soit

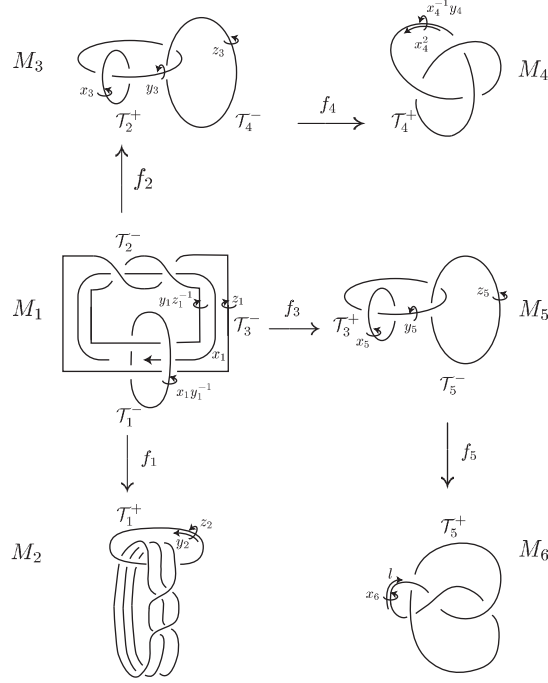


FIGURE 6. Décomposition de $S^3 - \text{int}(N(L))$ le long de W

anecdotique, que M_1 et M_3 sont homéomorphes, bien qu'ils soient des compléments d'entrelacs de types distincts (comparer avec le théorème de Gordon-Luecke dans le cas d'un noeud).

On construit alors le graphe de groupe (\mathcal{G}, X) , en considérant tout d'abord le graphe orienté X (figure 7).

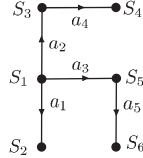


FIGURE 7. Le graphe orienté X

puis les groupes de sommets :

$$G_{S_1} = \pi_1(M_1) \cong \langle x_1, y_1, z_1 \mid [x_1, y_1] = [x_1, z_1] = 1 \rangle \cong F_2 \times \mathbb{Z}$$

$$G_{S_2} = \pi_1(M_2) \cong \langle x_2, y_2, z_2 \mid x_2^3 = y_2^2, [y_2, z_2] = 1 \rangle$$

$$G_{S_3} = \pi_1(M_3) \cong \langle x_3, y_3, z_3 \mid [x_3, y_3] = [y_3, z_3] = 1 \rangle \cong F_2 \times \mathbb{Z}$$

$$G_{S_4} = \pi_1(M_4) \cong \langle x_4, y_4 \mid x_4^2 = y_4^3 \rangle$$

$$G_{S_5} = \pi_1(M_5) \cong \langle x_5, y_5, z_5 \mid [x_5, y_5] = [y_5, z_5] = 1 \rangle \cong F_2 \times \mathbb{Z}$$

$$G_{S_6} = \pi_1(M_6) \cong \langle x_6, y_6 \mid x_6 y_6^2 x_6^2 y_6 x_6 y_6^{-1} x_6^{-2} y_6^{-1} = 1 \rangle$$

On choisit alors un plongement des groupes des composantes \mathcal{T}_i^\pm afin d'obtenir les plongements des groupes d'arêtes dans les groupes de sommet ; les isomorphismes φ_{a_j} pour toute arête a_j sont alors déterminés par les classes d'isotopie des homéomorphismes f_j , pour j variant de 1 jusqu'à 5. Le calcul fournit :

$$G_{a_1}^- = \pi_1(\mathcal{T}_1^-) = \langle x_1 y_1^{-1}, y_1 \rangle_{G_{S_1}} \subset G_{S_1}$$

$$G_{a_1}^+ = \pi_1(\mathcal{T}_1^+) = \langle z_2, y_2 \rangle_{G_{S_2}} \subset G_{S_2}$$

$$\varphi_{a_1}(x_1 y_1^{-1}) = y_2 \quad \varphi_{a_1}(y_1) = z_2$$

$$G_{a_2}^- = \pi_1(\mathcal{T}_2^-) = \langle y_1 z_1^{-1}, x_1 \rangle_{G_{S_1}} \subset G_{S_1}$$

$$G_{a_2}^+ = \pi_1(\mathcal{T}_2^+) = \langle x_3, y_3 \rangle_{G_{S_3}} \subset G_{S_3}$$

$$\varphi_{a_2}(y_1 z_1^{-1}) = y_3 \quad \varphi_{a_2}(x_1) = x_3$$

$$G_{a_3}^- = \pi_1(\mathcal{T}_3^-) = \langle z_1, x_1 \rangle_{G_{S_1}} \subset G_{S_1}$$

$$G_{a_3}^+ = \pi_1(\mathcal{T}_3^+) = \langle x_5, y_5 \rangle_{G_{S_5}} \subset G_{S_5}$$

$$\varphi_{a_3}(z_1) = y_5 \quad \varphi_{a_3}(x_1) = x_5$$

$$G_{a_4}^- = \pi_1(\mathcal{T}_4^-) = \langle z_3, y_3 \rangle_{G_{S_3}} \subset G_{S_3}$$

$$G_{a_4}^+ = \pi_1(\mathcal{T}_4^+) = \langle x_4^{-1} y_4, x_4^2 \rangle_{G_{S_4}} \subset G_{S_4}$$

$$\varphi_{a_4}(z_3) = x_4^2 \quad \varphi_{a_4}(y_3) = x_4^{-1} y_4$$

$$G_{a_5}^- = \pi_1(\mathcal{T}_5^-) = \langle z_5, y_5 \rangle_{G_{S_5}} \subset G_{S_5}$$

$$G_{a_5}^+ = \pi_1(\mathcal{T}_5^+) = \langle x_6, l = x_6 y_6 x_6 y_6^{-1} x_6^{-1} y_6^2 x_6^2 y_6 x_6^{-1} \rangle_{G_{S_6}} \subset G_{S_6}$$

$$\varphi_{a_5}(z_5) = l \quad \varphi_{a_5}(y_5) = x_6$$

Ceci nous suffit à définir le graphe de groupe (\mathcal{G}, X) . Il dépend clairement d'un choix des plongements des composantes au bord. Son groupe fondamental, cependant, n'en dépend pas ; c'est aussi le groupe fondamental du complément de L dans S^3 . Le théorème 3.1 fournit la présentation :

$$\begin{aligned} & \langle x_1, y_1, z_1, x_2, y_2, z_2, x_3, y_3, z_3, x_4, y_4, x_5, y_5, z_5, x_6, y_6 \mid \\ & [x_1, y_1] = [x_1, z_1] = [y_2, z_2] = [x_3, y_3] = [y_3, z_3] = [x_5, y_5] = [y_5, z_5] = 1, \\ & x_2^3 = y_2^2, \quad x_4^2 = y_4^3, \quad x_6 y_6^2 x_6^2 y_6 x_6 y_6^{-1} x_6^{-2} y_6^{-1} = 1, \\ & x_1 y_1^{-1} = y_2, \quad y_1 = z_2, \quad y_1 z_1^{-1} = y_3, \quad x_1 = x_3, \\ & z_1 = y_5, \quad x_1 = x_5, \quad z_3 = x_4^{-1} y_4, \quad y_3 = x_4^2, \\ & z_5 = x_6, \quad y_5 = x_6 y_6 x_6 y_6^{-1} x_6^{-1} y_6^2 x_6^2 y_6 x_6^{-1} \rangle \end{aligned}$$

Comme nous l'avons dit, M_1, M_2, M_3, M_4, M_5 sont des espaces fibrés de Seifert. Dans leur groupes fondamentaux respectifs, la classe d'une fibre régulière est respectivement : x_1, y_2^2, y_3, x_4^2 et y_5 (ils engendrent le centre). Remarquons que les isomorphismes φ_a associés n'envoient pas la classe d'une fibre régulière, sur la classe d'une fibre régulière, ce qui est en accord avec le fait déjà observé, que la décomposition W soit minimale.

5. EXTENSION HNN ET AMALGAME

Nous donnons dans cette section les théorèmes de conjugaison et de commutativité dans un amalgame ou une extension HNN. Une preuve dans le cas d'un amalgame peut se trouver dans [MKS]. Nous commençons par rappeler ces résultats dans le cas d'un amalgame, puis démontrons les résultats similaires dans le cas d'une extension HNN.

5.1. Produit amalgamé. Nous considérerons tout au long de ce paragraphe, un groupe Γ , produit amalgamé des groupes A et B le long du sous-groupe C .

Conjugaison dans un amalgame. Soit ω un élément de Γ , donné par une écriture sous forme réduite $\omega \equiv \omega_1\omega_2 \cdots \omega_n$. On dira que ω est *cycliquement réduit* si ω_1 et ω_n sont dans des facteurs différents. Clairement cette définition ne dépend pas du choix d'une forme réduite de ω , ainsi on pourra parler d'élément cycliquement réduit. De plus, il est clair que tous les conjugués cycliques $\omega_r \cdots \omega_n \omega_1 \cdots \omega_{r-1}$, d'un élément cycliquement réduit, sont aussi cycliquement réduits.

Le résultat suivant constitue le théorème 4.6 de [MKS].

Théorème 5.1. *Soit $\Gamma = A *_C B$. Alors tout élément $\gamma \in \Gamma$ est conjugué à un élément cycliquement réduit. De plus si γ est un élément cycliquement réduit, alors :*

- (i) *Si γ est conjugué à un élément $c \in C$, par $h \in \Gamma$, de forme réduite $h = h_1h_2 \cdots h_{n+1}$ avec $n \geq 0$, alors γ est dans un des facteurs, et il existe une suite finie $(c_0, c_1, \dots, c_n, \gamma)$, avec $c_0 = c$, et où $\forall i = 0, \dots, n$, $c_i \in C$, et h_{i+1} conjugue c_i en c_{i+1} (en posant $c_{n+1} = \gamma$).*
- (ii) *Si γ est conjugué à un élément γ' , qui est dans un des facteurs, mais n'est pas conjugué à un élément de C , alors γ et γ' sont dans un même facteur, et conjugués dans ce facteur.*
- (iii) *Si γ est conjugué à un élément cycliquement réduit, d'écriture sous forme réduite $p_1p_2 \cdots p_r$ où $r > 1$, alors γ peut être obtenu en conjuguant un conjugué cyclique $p_i \cdots p_r p_1 \cdots p_{i-1}$ de $p_1p_2 \cdots p_r$ par un élément de C .*

On obtient immédiatement le corollaire suivant :

Corollaire 5.1 (Théorème de conjugaison dans un amalgame). *Soient γ et γ' , deux éléments de $\Gamma = A *_C B$, cycliquement réduits, conjugués par un élément h de Γ . Alors γ et γ' ont même longueur, et de plus :*

- (i) *Si γ est conjugué à un élément de C , alors γ et γ' sont de longueur 1, et si h s'écrit sous forme réduite $h = h_0h_1 \cdots h_{n+1}$, il existe une suite finie c_0, c_1, \dots, c_n d'éléments de C , telle que, c_0 est conjugué à γ par h_0^{-1} dans un facteur, c_n est conjugué à γ' dans un facteur par h_{n+1} , et $\forall i = 0, \dots, n-1$, c_i et c_{i+1} sont conjugués dans un facteur par h_{i+1} .*
- (ii) *Si γ est dans un des facteurs et n'est pas conjugué à un élément de C , alors γ et γ' sont dans le même facteur, et conjugués par h dans ce facteur.*
- (iii) *Si γ n'est pas dans un des facteurs, alors γ s'obtient en conjuguant un conjugué cyclique de γ' par un élément de C .*

Commutativité dans un amalgame. Le théorème qui suit, caractérise les éléments qui commutent dans un produit amalgamé. Ses parties (i'), (ii) et (iii) constituent le théorème 4.5 de [MKS], auquel nous renvoyons le lecteur pour une preuve. Quant à la partie (i), elle s'obtient immédiatement en appliquant le point (i) du corollaire 5.1.

Théorème 5.2 (Théorème de commutativité dans un amalgame). *Soient $\Gamma = A *_C B$, et deux éléments x et y de Γ qui commutent. Alors :*

- (i) *Si x est dans C , et y s'écrit sous forme réduite, $y_1y_2 \cdots y_n$, alors il existe une suite finie d'éléments (c_0, c_1, \dots, c_n) de C , avec $c_0 = c_n = x$, et $\forall i = 0, \dots, n-1$, y_{i+1} conjugue c_i en c_{i+1} dans un des facteurs.*
- (i') *x ou y est dans un conjugué de C .*
- (ii) *Si ni x ni y n'est dans un conjugué de C , et x est dans le conjugué d'un facteur, alors y est dans le même conjugué du même facteur.*
- (iii) *Si ni x ni y n'est dans le conjugué d'un facteur, alors $x = ghg^{-1}.W^j$, et $y = gh'g^{-1}.W^k$, où $g, W \in \Gamma$, et $h, h' \in C$, et $ghg^{-1}, gh'g^{-1}$, et W , commutent deux à deux.*

Quant au centre d'un amalgame il est caractérisé par le résultat suivant (cor.4.5, [MKS]) :

Théorème 5.3 (Centre d'un amalgame). *Le centre d'un amalgame $\Gamma = A *_C B$ non trivial (i.e. $A \neq C$, $B \neq C$) est $Z(G) = Z(A) \cap Z(B)$.*

5.2. Conjugaison dans une extension HNN. Soit le groupe Γ , extension HNN de A le long de l'isomorphisme $\phi : C_{-1} \rightarrow C_{+1}$. Soit ω un élément de Γ , qui s'écrit sous forme réduite $\omega \equiv \omega_1 t^{\varepsilon_1} \cdots t^{\varepsilon_n} \omega_{n+1}$. On dit que ω est *cycliquement réduit* si soit $|\omega| = 1$, soit $\omega_{n+1} = 1$, et dans ce dernier cas, soit $|\omega| = 2$, (*i.e.* $w = w_1 t^{\varepsilon_1}$), soit $|\omega| > 2$, et $t^{\varepsilon_n} \omega_1 t^{\varepsilon_1}$ n'est pas un pinch. Il est clair que cette condition ne dépend pas du choix d'une forme normale réduite de ω . Aussi on pourra parler d'élément cycliquement réduit de Γ .

Le théorème de conjugaison que nous donnons n'est qu'une forme plus explicite du lemme de Collins (théorème 2.5, chap. IV [LS]) ; aussi nous n'en fournirons une preuve qu'en appendice (§7).

Théorème 5.4. *Soit $\Gamma = A *_\phi$ avec $\phi : C_{-1} \rightarrow C_{+1}$; alors tout élément $\gamma \in \Gamma$ est conjugué à un élément cycliquement réduit. De plus si γ est cycliquement réduit, alors :*

- (i) *Si γ est conjugué à un élément $c \in C_{+1} \cup C_{-1}$ par l'élément h de forme réduite $h = h_1 t^{\varepsilon_1} h_2 \cdots t^{\varepsilon_p} h_{p+1}$, alors γ est dans A , et il existe une suite finie $(c_0, c_1, \dots, c_{2p})$ d'éléments de $C_{+1} \cup C_{-1}$, telle que $c_{2p} = c$, $\gamma = h_1.c_0.h_1^{-1}$, et pour $i = 0, \dots, p-1$,*

$$\begin{aligned} c_{2i+1} &= h_{i+2}.c_{2i+2}.h_{i+2}^{-1} \\ c_{2i} &= t^{\varepsilon(i+1)}.c_{2i+1}.t^{-\varepsilon(i+1)} \end{aligned}$$

- (ii) *Si γ est conjugué à un élément $\gamma' \in A$, mais n'est pas conjugué à un élément de $C_{+1} \cup C_{-1}$, alors γ est dans A , et γ et γ' sont conjugués dans A .*
- (iii) *Si γ est conjugué à un élément γ' , cycliquement réduit, d'écriture sous forme réduite, $u_1 t^{\mu_1} \cdots u_m t^{\mu_m}$ avec $m \geq 1$, alors γ peut-être obtenu en conjuguant un conjugué cyclique de γ' , $u_{r+1} t^{\mu_{r+1}} \cdots u_m t^{\mu_m} u_1 t^{\mu_1} \cdots u_r t^{\mu_r}$ par un élément de C_{μ_r} .*

Et l'on obtient alors immédiatement le corollaire suivant :

Corollaire 5.2 (Théorème de conjugaison dans une extension HNN). *Soit $\Gamma = A *_\phi$ avec $\phi : C_{-1} \rightarrow C_{+1}$; si γ et γ' sont deux éléments cycliquement réduits de Γ conjugués par $h \in \Gamma$, alors γ et γ' ont même longueur, et de plus :*

- (i) *Si γ est conjugué à un élément c de $C_{+1} \cup C_{-1}$, alors γ et γ' sont dans A , et si h s'écrit sous la forme réduite $h = h_1 t^{\varepsilon_1} \cdots t^{\varepsilon_p} h_{p+1}$, il existe une suite finie $(c_0, c_1, \dots, c_{2p-1})$ d'éléments de $C_{+1} \cup C_{-1}$, telle que $\gamma = h_1.c_0.h_1^{-1}$, et pour $i = 0, \dots, p-1$, en posant $c_{2p} = \gamma'$,*

$$\begin{aligned} c_{2i+1} &= h_{i+2}.c_{2i+2}.h_{i+2}^{-1} \\ c_{2i} &= t^{\varepsilon(i+1)}.c_{2i+1}.t^{-\varepsilon(i+1)} \end{aligned}$$

- (ii) *Si γ est dans A , mais n'est pas conjugué à un élément de $C_{+1} \cup C_{-1}$, alors γ' est dans A et γ et γ' sont conjugués par h dans A .*
- (iii) *Si γ n'est pas dans A , $\gamma = u_1 t^{\mu_1} \cdots u_m t^{\mu_m}$, avec $m \geq 1$ alors γ s'obtient en conjuguant un conjugué cyclique $v_r t^{\mu_r} \cdots v_m t^{\mu_m} v_1 t^{\mu_1} \cdots v_{r-1} t^{\mu_{r-1}}$ de γ' par un élément α de C_{μ_m} .*

5.3. Commutativité dans une extension HNN. Le théorème suivant caractérise deux éléments qui commutent dans une extension HNN.

Théorème 5.5 (Théorème de commutativité dans une extension HNN). *Soient $\Gamma = A *_\phi$ avec $\phi : C_{-1} \rightarrow C_{+1}$, et x et y , deux éléments de G qui commutent. Alors :*

- (i) *Si $x \in C_{+1} \cup C_{-1}$, et y s'écrit sous forme réduite, $y = y_1 t^{\varepsilon_1} y_2 \cdots y_n t^{\varepsilon_n} y_{n+1}$, alors il existe une suite d'éléments $(c_0, c_1, \dots, c_{2n+1})$ de $C_{+1} \cup C_{-1}$ où $c_0 = c_{2n+1} = x$, et c_i et c_{i+1} , sont conjugués, par $y_{\frac{i}{2}+1}$ si i est pair, et par t^{ε_j} avec $j = (\frac{i-1}{2} + 1)$, si i est impair.*
- (i') *x ou y est conjugué à un élément de $C_{+1} \cup C_{-1}$.*
- (ii) *Si x est dans un conjugué de A et n'est pas conjugué à un élément de $C_{+1} \cup C_{-1}$, alors y est dans le même conjugué de A .*
- (iii) *Si ni x ni y n'est dans un conjugué de A , alors $x = gcg^{-1}W^j$ et $y = g'g^{-1}W^k$, où $g, W \in \Gamma$, $c, c' \in C_{+1}$ (respectivement $c, c' \in C_{-1}$), et gcg^{-1} , $g'g^{-1}$, et W commutent deux à deux.*

Démonstration. Nous traitons séparément chacun des cas.

Cas (i). Il suffit d'appliquer le corollaire 5.2, après avoir remarqué que y conjugue x en x . \square

Cas (i). Il n'y a rien à prouver dans ce cas. \square

Cas (ii). On suppose que x est dans A . On a encore

$$\begin{aligned} x &= y x y^{-1} \\ x &= y_1 t^{\varepsilon_1} y_2 \cdots y_n t^{\varepsilon_n} y_{n+1} x y_{n+1}^{-1} t^{-\varepsilon_n} \cdots y_2^{-1} t^{-\varepsilon_1} y_1^{-1} \end{aligned}$$

qui est dans A , et donc le membre de droite n'est pas réduit. Or puisque x n'est pas conjugué à un élément de $C_{+1} \cup C_{-1}$, $t^{\varepsilon_n} y_{n+1} x y_{n+1}^{-1} t^{-\varepsilon_n}$ ne peut pas être un pinch, et donc, puisque y est réduit, la seule possibilité est $n = 0$, c'est à dire $y \in A$.

Si x est conjugué à un élément $x_0 \in A$, $x = h x_0 h^{-1}$, alors $h^{-1} y h$ commute avec x_0 , et est donc dans A . \square

Pour achever la démonstration, nous procédons par contradiction. Nous supposons qu'il existe $x, y \in \Gamma$, qui commutent, et qui ne vérifient pas les conclusions de la proposition. Alors, avec tout ce qui précède, ni x ni y n'est dans un conjugué de A . En particulier, x et y sont de longueur supérieure à 1.

On considère un élément $x \in \Gamma$, de longueur minimale, pour lequel il existe $y \in \Gamma$, tel que x et y commutent et ne vérifient pas les conclusions de la proposition. On prend y de longueur minimale dans l'ensemble des éléments vérifiant cette condition. On pose $r + 1 = |x|$, $s + 1 = |y|$; x et y s'écrivent sous forme réduite :

$$\begin{aligned} x &= x_1 t^{\varepsilon_1} x_2 \cdots x_r t^{\varepsilon_r} x_{r+1} \\ y &= y_1 t^{\mu_1} y_2 \cdots y_s t^{\mu_s} y_{s+1} \end{aligned}$$

Bien sûr, $0 < r \leq s$.

Remarquons tout d'abord, que $t^{\varepsilon_r} x_{r+1} x_1 t^{\varepsilon_1}$ n'est pas un pinch. En effet, dans le cas contraire, $t^{\varepsilon_r} x_{r+1} x x_{r+1}^{-1} t^{-\varepsilon_r}$ est de longueur strictement inférieure à $|x|$, et $t^{\varepsilon_r} x_{r+1} x x_{r+1}^{-1} t^{-\varepsilon_r}$ et $t^{\varepsilon_r} x_{r+1} y x_{r+1}^{-1} t^{-\varepsilon_r}$ commutent, et ne vérifient pas les conclusions de la proposition, ce qui est contradictoire, puisque l'on a supposé, que x était de longueur minimale.

Maintenant, soit xy , soit xy^{-1} est sous forme réduite de longueur $r + s + 1$. Dans le cas contraire, $t^{\varepsilon_r} x_{r+1} y_1 t^{\mu_1}$ et $t^{-\varepsilon_1} x_1^{-1} y_1 t^{\mu_1}$ sont des pinchs. Alors, $\varepsilon_r = -\varepsilon_1$, et $x_{r+1} y_1, x_1^{-1} y_1 \in C_{\varepsilon_r}$, et donc :

$$x_{r+1} y_1 = c x_1^{-1} y_1$$

où $c \in C_{\varepsilon_r}$, et alors

$$x_{r+1} x_1 = c$$

et $t^{\varepsilon_r} x_{r+1} x_1 t^{\varepsilon_1}$ est un pinch, ce qui est contradictoire.

Sans perte de généralité, on peut supposer que xy est sous forme réduite de longueur $r + s + 1$. Ainsi,

$$\begin{aligned} xy &= x_1 t^{\varepsilon_1} \cdots t^{\varepsilon_r} x_{r+1} y_1 t^{\mu_1} \cdots t^{\mu_s} y_{s+1} & (*) \\ &= yx \\ &= y_1 t^{\mu_1} \cdots t^{\mu_s} y_{s+1} x_1 t^{\varepsilon_1} \cdots t^{\varepsilon_r} x_{r+1} & (**) \end{aligned}$$

et (*) et (**) sont deux écritures réduites de $xy = yx$. Avec le lemme de Britton, en supposant $s \geq r$,

$$t^{\mu_{q+1}} y_{q+2} \cdots t^{\mu_s} y_{s+1} = c t^{\varepsilon_1} x_2 \cdots t^{\varepsilon_r} x_{r+1}$$

où $q = s - r$, et $c \in C_{-\varepsilon_1}$. Alors,

$$yx^{-1} = y_1 t^{\mu_1} \cdots t^{\mu_q} y_{q+1} c x_1^{-1}$$

est de longueur $q + 1 = s - r + 1$. Or, x et yx^{-1} commutent, et donc puisque $|yx^{-1}| < |y|$, avec le choix que nous avons fait de x et y , nécessairement x et yx^{-1} vérifient les conclusions de la proposition.

Si yx^{-1} est conjugué à un élément $c \in C_{+1} \cup C_{-1}$,

$$yx^{-1} = gcg^{-1}$$

et donc,

$$y = gcg^{-1} x$$

et puisque $x = g1g^{-1} x$, x et y vérifient (iii), ce qui est contradictoire.

Si yx^{-1} est dans un conjugué de A , et n'est pas conjugué à un élément de $C_{+1} \cup C_{-1}$, avec (ii), x et y sont dans le même conjugué de A , et vérifient donc (ii), ce qui est contradictoire.

Si $yx^{-1} = gcg^{-1}W^j$, et $x = gc'g^{-1}W^k$, vérifient la conclusion (iii), alors

$$\begin{aligned} y &= yx^{-1}x = gcg^{-1}W^j gc'g^{-1}W^k \\ &= gcg^{-1}gc'g^{-1}W^jW^k \\ &= gcc'g^{-1}W^{j+k} \end{aligned}$$

et puisque $gcg^{-1}, gc'g^{-1}, W$ commutent deux à deux, $gc'g^{-1}, gcc'g^{-1}$ et W commutent deux à deux. De plus c, c' sont dans C_{+1} (respectivement C_{-1}), et donc cc' est dans C_{+1} (respectivement C_{-1}). Ainsi, x et y vérifient la conclusion (iii), ce qui est contradictoire. Il n'existe donc pas d'éléments $x, y \in \Gamma$, qui commutent et ne vérifient pas les conclusions de la proposition. Ceci termine la démonstration. \blacksquare

5.4. Centre d'une extension HNN. Le résultat suivant caractérise le centre d'une extension HNN :

Théorème 5.6 (Centre d'une extension HNN). *Soit $\Gamma = A*_\phi$, avec $\phi : C_{-1} \rightarrow C_{+1}$; notons $\text{Fix } \phi$ le sous-groupe de $C_{-1} \cap C_{+1}$ constitué des point fixes de ϕ , et $Z(\Gamma)$ le centre de Γ .*

- (i) *Si C_{-1} ou C_{+1} est un sous-groupe propre de A , alors $Z(\Gamma) = Z(A) \cap \text{Fix } \phi$.*
- (ii) *Si $C_{-1} = C_{+1} = A$ et si ϕ est d'ordre infini dans $\text{Out}(A)$, alors $Z(\Gamma) = Z(A) \cap \text{Fix } \phi$.*
- (iii) *Si $C_{-1} = C_{+1} = A$ et si ϕ est d'ordre n dans $\text{Out}(A)$ alors soit $a_0 \in \Gamma$ tel que pour tout $a_0 \in A$, $\phi^n(a_0) = a_0aa_0^{-1}$. Alors $Z(\Gamma) = \bigcup_{p \in \mathbb{Z}} t^{pn} \cdot (\text{Fix } \phi \cap a_0^p Z(A))$.*

Démonstration. Remarquons au préalable que puisque $Z(A) \cap \text{Fix } \phi$ est dans le centralisateur de la famille génératrice $A \cup \{t\}$ de Γ on a dans tous les cas $Z(A) \cap \text{Fix } \phi \subset Z(\Gamma)$. Soit $x \in Z(\Gamma) \cap A$; nécessairement, d'une part $x \in Z(A)$, et d'autre part $t^{-1}xt = x$, et donc $x = \phi(x)$. Ainsi dans tous les cas $Z(\Gamma) \cap A = Z(A) \cap \text{Fix } \phi$.

Nous commençons par traiter le cas (i) : C_{-1} ou C_{+1} est propre dans A . Puisque l'isomorphisme naturel entre $A*_\phi$ et $A*_{\phi^{-1}}$ préserve A et que $\text{Fix } \phi = \text{Fix } \phi^{-1}$ on se restreindra sans perte de généralité au cas où C_{-1} est propre dans A . Avec ce qui précède il nous suffit de montrer que $Z(\Gamma) \subset A$.

Soit $x \in Z(\Gamma)$; ab absurdo supposons que $|x| > 1$. Remarquons tout d'abord que puisque x est dans le centre de Γ , x égale tous ses conjugués cycliques. Ainsi d'une part x admet une écriture cycliquement réduite :

$$x = x_1 t^{\varepsilon_1} \dots x_n t^{\varepsilon_n}$$

avec $n \geq 1$, et d'autre part tous les ε_i sont égaux. Considérons $y \in A \setminus C_{-1}$.

Si $\varepsilon_n = -1$, alors xyx^{-1} a une écriture réduite de longueur $2n + 1$, et est égal à y qui est de longueur 1 ; ceci est contradictoire.

Si $\varepsilon_n = \varepsilon_1 = 1$, on applique le même raisonnement que ci-dessus en considérant au lieu de x , $x^{-1} = x_1^{-1} t^{-\varepsilon_n} x_n^{-1} \dots x_2^{-1} t^{-\varepsilon_1}$, pour arriver encore à une contradiction ; ceci montre que nécessairement $x \in A$, ce qui achève la preuve du cas (i). \square

Nous traitons maintenant les deux derniers cas ; remarquons que lorsque $C_{-1} = C_{+1} = A$, Γ est le produit semi-direct $\Gamma = A \rtimes_\phi \mathbb{Z}$, et que tout élément de Γ s'écrit de façon unique $t^n a$ avec $a \in A$ et $n \in \mathbb{Z}$.

Si $x = t^n a_1 \in Z(\Gamma)$, alors pour tout $a \in A$, $at^n a_1 a^{-1} = t^n \phi^n(a) a_1 a^{-1} = t^n a_1$, et donc $\phi^n(a) = a_1 a a_1^{-1}$. Ainsi soit $Z(\Gamma) \subset A$, soit ϕ est d'ordre fini dans $\text{Out}(A)$. En particulier dans le cas (ii) on a la conclusion souhaitée. Il ne nous reste donc plus qu'à montrer le cas (iii).

Supposons que ϕ est d'ordre n dans $\text{Out}(A)$ et considérons $a_0 \in A$ tel que pour tout $a \in A$, $\phi^n(a) = a_0 a a_0^{-1}$;

Soient $p \in \mathbb{Z}$, $\alpha \in Z(A)$ tel que $a_0^p \alpha \in \text{Fix } \phi$, et $x = t^{pn} a_0^p \alpha$; soit y un élément quelconque de Γ , $y = t^r a$ avec $y \in \mathbb{Z}$ et $a \in A$.

$$\begin{aligned} yxy^{-1} &= t^r a . t^{pn} a_0^p \alpha . a^{-1} t^{-r} \\ &= t^{pn+r} a_0^p a a_0^{-p} . a_0^p \alpha a^{-1} t^{-r} \\ &= t^{pn+r} a_0^p \alpha t^{-r} \\ &= t^{pn} a_0^p \alpha = x \end{aligned}$$

Ceci montre que $\bigcup_{p \in \mathbb{Z}} t^{pn} . (\text{Fix } \phi \cap a_0^p Z(A)) \subset Z(\Gamma)$.

Réciproquement soient $m \in \mathbb{Z}$, $a_1 \in A$ et $x = t^m a_1 \in Z(G)$. Alors d'une part $\forall a \in A$, $\phi^m(a) = a_1 a a_1^{-1}$ ce qui implique qu'il existe $p \in \mathbb{Z}$ tel que $m = np$ et $a_1 \in a_0^p Z(A)$. D'autre part $t^{-1} x t = x$ montre que $t^m \phi(a_1) = t^m a_1$ et donc que $a_1 \in \text{Fix } \phi$. Ainsi $Z(\Gamma) \subset \bigcup_{p \in \mathbb{Z}} t^{pn} . (\text{Fix } \phi \cap a_0^p Z(A))$ ce qui achève la preuve de (iii). \blacksquare

6. GRAPHES DE GROUPE

Nous commençons par établir dans cette section les théorèmes principaux caractérisant le centre, les éléments qui commutent et les éléments conjugués (théorèmes 6.1, 6.2 et 6.3) dans le groupe fondamental d'un graphe de groupe.

L'approche employée est inductive. Si (\mathcal{G}, X) est un graphe de groupe, décomposer X le long d'une de ses arêtes, décompose $\pi_1(\mathcal{G}, X)$ en extension HNN ou en amalgame de groupes fondamentaux de sous-graphes(s) de groupe. Les théorèmes de la section précédente servent alors à la fois de conditions initiales, et de conditions de récurrence.

Nous établirons ensuite divers résultats. D'abord nous montrons que pour un groupe quelconque G et une famille finie quelconque de ses sous-groupes, le problème de conjugaison dans G se réduit au problème de conjugaison dans le double $2G$ de G le long de ces sous-groupes (théorème 6.4). Ensuite nous donnons une condition combinatoire suffisante pour que dans un groupe fondamental de graphe de groupe, les centralisateurs, le centre et la structure des racines soient dans un sens triviaux (théorèmes 6.5, 6.6 et 6.7).

6.1. Centre dans un graphe de groupe. Nous donnons d'abord quelques définitions nécessaires à l'énoncé du théorème.

Définition 6.1. *Un graphe de groupe décomposé (\mathcal{G}, X, T) est dit minimal si pour toute arête T -séparante a , le sous-groupe d'arête G_a est un sous-groupe propre des sous-groupes de sommets $G_{o(a)}$ et $G_{e(a)}$ de $\pi_1(\mathcal{G}, X)$.*

Remarque : Donné un graphe de groupe décomposé qui n'est pas minimal on peut clairement –en 'écrasant' en des sommets les arêtes qui posent problème– construire un graphe de groupe décomposé minimal, sans en changer le groupe fondamental.

Définition 6.2. *Soit un graphe de groupe décomposé (\mathcal{G}, X, T) ; donnée une arête a non T -séparante, on note $\text{Fix } a$ le sous-groupe de $G_a^- \cap G_a^+ \subset \pi_1(\mathcal{G}, X)$ constitué des éléments fixés par l'isomorphisme $\varphi_a : G_a^- \rightarrow G_a^+$. (Remarquons que clairement $\text{Fix } a = \text{Fix } -a$).*

Nous pouvons dès-lors donner le théorème caractérisant le centre du groupe fondamental d'un graphe de groupe.

Théorème 6.1 (Centre dans un graphe de groupe). *Soient (\mathcal{G}, X, T) un graphe de groupe décomposé minimal et Γ son groupe fondamental. Soit X a un unique sommet et une unique arête non-orientée (dans ce cas la conclusion est donnée par le théorème 5.6), soit :*

$$Z(\Gamma) = \left(\bigcap_{s \in \mathcal{S}_X} Z(G_s) \right) \cap \left(\bigcap_{a \in \mathcal{A}_{X \setminus T}} \text{Fix } a \right)$$

Démonstration. Nous procédons par induction sur le nombre d'arêtes non T -séparantes. Si X n'a pas d'arête non T -séparante (*i.e.* $X = T$), alors avec le théorème 5.3, $Z(G) = \bigcap_{s \in \mathcal{S}_X} Z(G_s)$. Supposons maintenant que X contienne au moins une arête non T -séparante a , et considérons le

sous-graphe de groupe décomposé (\mathcal{G}, X', T) où X' est obtenu à partir de X en supprimant l'arête a . Alors Γ est l'extension HNN de base $\Gamma_0 = \pi_1(\mathcal{G}, X')$ le long de l'isomorphisme $\varphi_a : G_a^- \rightarrow G_a^+$. Si X n'a pas un unique sommet et une unique arête non-orientée, alors avec l'hypothèse de minimalité G_a^- est un sous-groupe propre de Γ_0 , ainsi le théorème 5.6 (i) s'applique pour montrer que $Z(\Gamma) = Z(\Gamma_0) \cap \text{Fix } a$, ce qui achève l'induction. ■

6.2. Trajets et circuits. Nous introduisons dans cette section le matériel combinatoire qui nous sera utile dans la suite.

Définition 6.3. Soit (\mathcal{G}, X, T) un graphe de groupe décomposé. Soient s_o et s_e des sommets de X , et les éléments $u \in G_{s_o}$, $v \in G_{s_e}$ de $\pi_1(\mathcal{G}, X)$. Un trajet de u à v , d'origine s_o et d'extrémité s_e , est la donnée de :

a) Un chemin de X , d'origine s_o et d'extrémité s_e ,

$$(a_1, a_2, \dots, a_n)$$

avec $n \geq 0$ (si $n = 0$ le chemin est réduit à s_o). On note $s_0 = s_o, s_n = s_e$, et si $n \geq 2$, pour tout $i = 1, \dots, n-1$, $s_i = e(a_i)$.

b) Une suite

$$(c_1^-, c_1^+, c_2^-, c_2^+, \dots, c_n^-, c_n^+)$$

avec $\forall i = 1, \dots, n$, $c_i^- \in G_{a_i}^-$, $c_i^+ \in G_{a_i}^+$, et $c_i^+ = \varphi_{a_i}(c_i^-)$.

c) Une suite

$$(h_0, h_1, \dots, h_n)$$

avec soit $n = 0$ et $u = h_0 v h_0^{-1}$ dans G_{s_0} ; soit $\forall i = 0, \dots, n$, $h_i \in G_{s_i}$, et

$$u = h_0 c_1^- h_0^{-1} \quad \text{dans } G_{s_0}$$

$$c_n^+ = h_n v h_n^{-1} \quad \text{dans } G_{s_n}$$

et si $n \geq 2$, $\forall i = 1, \dots, n-1$,

$$c_i^+ = h_i c_{i+1}^- h_i^{-1} \quad \text{dans } G_{s_i}$$

On symbolisera la donnée d'un tel trajet, par la notation suivante :

$$u \underset{h_0}{\circlearrowleft} c_1^- \xrightarrow{a_1} c_1^+ \underset{h_1}{\circlearrowleft} c_2^- \xrightarrow{a_2} \dots \xrightarrow{a_i} c_i^+ \underset{h_i}{\circlearrowleft} c_{i+1}^- \xrightarrow{a_{i+1}} \dots \xrightarrow{a_{n-1}} c_{n-1}^+ \underset{h_{n-1}}{\circlearrowleft} c_n^- \xrightarrow{a_n} c_n^+ \underset{h_n}{\circlearrowleft} v$$

Si $n = 0$, on parlera du trajet trivial, que l'on notera :

$$u \underset{h_0}{\circlearrowleft} v$$

Si $h_i \in G_{s_i}$ est l'élément neutre, on notera

$$\dots c_i^+ = c_{i+1}^- \dots$$

au lieu de

$$\dots c_i^+ \underset{1}{\circlearrowleft} c_{i+1}^- \dots$$

Définition 6.4. Si le trajet \mathcal{C} est donné par :

$$u \underset{h_0}{\circlearrowleft} c_1^- \xrightarrow{a_1} c_1^+ \underset{h_1}{\circlearrowleft} c_2^- \xrightarrow{a_2} \dots \xrightarrow{a_i} c_i^+ \underset{h_i}{\circlearrowleft} c_{i+1}^- \xrightarrow{a_{i+1}} \dots \xrightarrow{a_{n-1}} c_{n-1}^+ \underset{h_{n-1}}{\circlearrowleft} c_n^- \xrightarrow{a_n} c_n^+ \underset{h_n}{\circlearrowleft} v$$

on appelle label du trajet \mathcal{C} , l'élément $h \in \pi_1(\mathcal{G}, X)$, que l'on notera $\text{label}(\mathcal{C})$, défini par

$$\text{label}(\mathcal{C}) = h_0 t_{a_1} h_1 t_{a_2} \dots t_{a_n} h_n = h$$

pour la présentation donnée par le théorème 3.1 (rappelons que si a est une arête T -séparante, $t_a = t_{-a} = 1$). Il est clair, qu'alors

$$u = h v h^{-1} \quad \text{dans } \pi_1(\mathcal{G}, X)$$

Définition 6.5. Un circuit en u d'origine s_o , est un trajet pour lequel $s_o = s_e$, de u à u . Si h est l'élément associé à un circuit en u , alors

$$[u, h] = 1 \quad \text{dans } \pi_1(\mathcal{G}, X)$$

Un circuit trivial en u est un circuit de la forme :

$$u \underset{h_0}{\circlearrowleft} u$$

Définition 6.6. Considérons un trajet \mathcal{T}_1 de u à v , d'origine s_1 et d'extrémité s_2 .

$$u \underset{h_0}{\circlearrowleft} c_1^- \xrightarrow{a_1} \cdots \xrightarrow{a_i} c_i^+ \underset{h_i}{\circlearrowleft} c_{i+1}^- \xrightarrow{a_{i+1}} \cdots \xrightarrow{a_n} c_n^+ \underset{h_n}{\circlearrowleft} v$$

Notons \mathcal{T}_1^{-1} le trajet ainsi défini :

$$v \underset{h_n^{-1}}{\circlearrowleft} c_n^+ \xrightarrow{-a_n} \cdots \xrightarrow{-a_{i+1}} c_{i+1}^- \underset{h_i^{-1}}{\circlearrowleft} c_i^+ \xrightarrow{-a_i} \cdots \xrightarrow{-a_1} c_1^- \underset{h_0^{-1}}{\circlearrowleft} u$$

C'est un trajet de v à u , d'origine s_2 et d'extrémité s_1 . Si h_1 est le label de \mathcal{T}_1 , alors \mathcal{T}_1^{-1} a pour label h_1^{-1} . On dira que le trajet \mathcal{T}_1^{-1} est l'inverse de \mathcal{T}_1 . Considérons un trajet \mathcal{T}_2 d'origine s_2 et d'extrémité s_3 , de v à w :

$$v \underset{k_0}{\circlearrowleft} d_1^- \xrightarrow{b_1} \cdots \xrightarrow{b_j} d_j^+ \underset{k_j}{\circlearrowleft} d_{j+1}^- \xrightarrow{b_{j+1}} \cdots \xrightarrow{b_m} d_m^+ \underset{k_m}{\circlearrowleft} w$$

Sous ces hypothèses, on définit le produit de \mathcal{T}_1 et \mathcal{T}_2 , noté $\mathcal{T}_1\mathcal{T}_2$, par

$$u \underset{h_0}{\circlearrowleft} c_1^- \xrightarrow{a_1} \cdots \xrightarrow{a_i} \cdots \xrightarrow{a_n} c_n^+ \underset{h_n k_0}{\circlearrowleft} d_1^- \xrightarrow{b_1} \cdots \xrightarrow{b_j} \cdots \xrightarrow{b_m} d_m^+ \underset{k_m}{\circlearrowleft} w$$

C'est un trajet de u à w , d'origine s_1 et d'extrémité s_3 . Si h_2 est le label de \mathcal{T}_2 , alors le label de $\mathcal{T}_1\mathcal{T}_2$ est le produit $h_1 h_2$. Il est facile de vérifier que lorsqu'il est défini, ce produit est associatif.

Définition 6.7. Considérons un élément non trivial u dans un sous-groupe de sommet G_s , et notons $\mathcal{C}(u, s)$ l'ensemble des labels des circuits en u d'origine s . Remarquons que le produit de deux circuits en u d'origine s est toujours défini, et que le produit et l'inverse de deux circuits en u d'origine s , est encore un circuit en u d'origine s . Ainsi $\mathcal{C}(u, s)$ muni de l'opération de $\pi_1(\mathcal{G}, X)$, forme un sous-groupe de $\pi_1(\mathcal{G}, X)$.

Les premières propositions que nous démontrons, ont pour but de ne plus avoir à parler de l'origine et de l'extrémité d'un trajet.

Proposition 6.1. Soit (\mathcal{G}, X, T) un graphe de groupe décomposé. Soient s_1, s_2 deux sommets distincts de X , et u un élément de $\pi_1(\mathcal{G}, X)$.

Alors $u \in G_{s_1} \cap G_{s_2}$, si et seulement si il existe un trajet dans $\pi_1(\mathcal{G}, X)$, de u à u , d'origine s_1 , et d'extrémité s_2 , de la forme

$$u = c_1^- \xrightarrow{a_1} \cdots \xrightarrow{a_i} c_i^+ = c_{i+1}^- \xrightarrow{a_{i+1}} \cdots \xrightarrow{a_n} c_n^+ = u$$

avec pour tout $i = 1, \dots, n$, $a_i \in \mathcal{A}(T)$ (et donc le label de ce trajet est l'élément neutre).

Démonstration. La réciproque étant triviale, nous démontrons l'implication directe.

Remarquons qu'un trajet dans un sous-graphe de groupe de (\mathcal{G}, X) est aussi naturellement un trajet de (\mathcal{G}, X) , ayant même label. Ainsi, puisque $G_{s_1}, G_{s_2} \subset \pi_1(\mathcal{G}, T) \subset \pi_1(\mathcal{G}, X)$, il est suffisant de montrer la propriété dans le sous-graphe (\mathcal{G}, T) de (\mathcal{G}, X) , muni de la décomposition induite. Considérons dans T l'unique chemin réduit (a_1, \dots, a_n) d'origine s_1 et d'extrémité s_2 , et notons C le sous-graphe orienté de T d'arêtes a_1, \dots, a_n . Comme précédemment, $\pi_1(\mathcal{G}, C)$ contient G_{s_1} et G_{s_2} , et se plonge naturellement dans $\pi_1(\mathcal{G}, T)$, aussi on travaille dans (\mathcal{G}, C) .

Soit $u \in G_{s_1} \cap G_{s_2}$. Décomposons C le long de a_1 . Notons C_1 le sous-graphe ayant pour arêtes a_2, \dots, a_n , alors $\pi_1(\mathcal{G}, C)$ est l'amalgame de G_{s_1} et de $\pi_1(\mathcal{G}, C_1)$ le long de φ_{a_1} . Alors $u \in G_{s_1} \cap \pi_1(\mathcal{G}, C_1)$, et donc $u \in G_{a_1}^- \subset G_{s_1}$ et $u \in G_{a_1}^+ \subset G_{e(a_1)} \subset \pi_1(\mathcal{G}, C_1)$, ce qui fournit le trajet en u , d'origine s_1 et d'extrémité $e(a_1)$

$$u = u \xrightarrow{a_1} u = u$$

Maintenant, dans $\pi_1(\mathcal{G}, C_1)$, $u \in G_{e(a_1)} \cap G_{s_2}$. On procède au même raisonnement dans $\pi_1(\mathcal{G}, C_1)$, et ainsi de suite. Le trajet produit des trajets successivement déterminés, est le trajet souhaité. ■

On obtient immédiatement le corollaire suivant :

Corollaire 6.1. *Soit (\mathcal{G}, X, T) un graphe de groupe décomposé. Soient s_1, s_2, s_3, s_4 des sommets de X , et des éléments $u, v \in \pi_1(\mathcal{G}, X)$, tels que $u \in G_{s_1} \cap G_{s_2}$, et $v \in G_{s_3} \cap G_{s_4}$.*

Alors il existe un trajet de u à v d'origine s_1 et d'extrémité s_3 , si et seulement si il existe un trajet de u à v , d'origine s_2 et d'extrémité s_4 ; de plus, ils ont même label.

Définition 6.8. *Ainsi $\mathcal{C}(u, s)$ ne dépend pas du choix de s , et on le notera $\mathcal{C}(u)$. De même on parlera de trajet de u à v , et de circuit en u .*

Le résultat qui suit, motive l'introduction des notions de circuits et de trajets. C'est le résultat fondamental de cette section.

Proposition 6.2 (Théorème fondamental des trajets). *Soit (\mathcal{G}, X, T) un graphe de groupe décomposé. Soient les éléments $u, v \in \pi_1(\mathcal{G}, X)$ dans les sous-groupes de sommet respectifs G_{s_1}, G_{s_2} . Alors $u = hvh^{-1}$ dans $\pi_1(\mathcal{G}, X)$, si et seulement si il existe un trajet de u à v ayant pour label h .*

Démonstration. Nous avons déjà vu (définition 6.4), que s'il existe un trajet de u à v ayant pour label h alors $u = hvh^{-1}$; montrons la réciproque. Soient donc, $u \in G_{s_1}$, et $v \in G_{s_2}$ tels que $u = hvh^{-1}$ dans $\pi_1(\mathcal{G}, X)$. Soit l'arête $a \in \mathcal{A}_X$; on décompose (\mathcal{G}, X) le long de a afin d'obtenir le sous-graphe (\mathcal{G}, X_1) .

Si a est non T -séparante, $\pi_1(\mathcal{G}, X)$ est l'extension HNN de $\pi_1(\mathcal{G}, X_1)$ le long de $\varphi_a : G_a^- \rightarrow G_a^+$. Les éléments u et v sont dans $\pi_1(\mathcal{G}, X_1)$, et on peut donc les supposer cycliquement réduits de longueur 1. Puisque $u = hvh^{-1}$ dans $\pi_1(\mathcal{G}, X)$, avec le corollaire 5.2, soit h conjugué v en u dans $\pi_1(\mathcal{G}, X_1)$, soit h s'écrit sous forme réduite $h = h_1 t_a^{\varepsilon_1} \cdots t_a^{\varepsilon_p} h_{p+1}$, et il existe une suite finie $\gamma_1, \dots, \gamma_m$ de $G_a^- \cup G_a^+$, avec $m = 2p$ pour $p \in \mathbb{N}_*$, vérifiant les conditions :

$$\begin{aligned} u &= h_1 \gamma_1 h_1^{-1} & \gamma_m &= h_{p+1} v h_{p+1}^{-1} & \text{dans } \pi_1(\mathcal{G}, X_1) \\ \gamma_2 &= \varphi_a^{\varepsilon_1}(\gamma_1) \end{aligned}$$

et pour tout $i = 2, \dots, p$,

$$\begin{aligned} \gamma_{2i-1} &= h_i \gamma_{2(i-1)} h_i^{-1} & \text{dans } \pi_1(\mathcal{G}, X_1) \\ \gamma_{2i} &= \varphi_a^{\varepsilon_i}(\gamma_{2i-1}) & \varepsilon_i = \pm 1 \end{aligned}$$

Dans ce cas, on symbolise ces conditions par la notation suivante, que l'on nomme un pré-trajet de u à v ,

$$u \underset{h_1}{\sim} \gamma_1 \xrightarrow{\varepsilon_1 a} \gamma_2 \underset{h_2}{\sim} \gamma_3 \xrightarrow{\varepsilon_2 a} \cdots \xrightarrow{\varepsilon_p a} \gamma_m \underset{h_{p+1}}{\sim} v$$

avec $-1a$ qui dénote $-a$, et $1a$ qui dénote a . L'élément $h_1 t_a^{\varepsilon_1} \cdots t_a^{\varepsilon_p} h_{p+1}$ de $\pi_1(\mathcal{G}, X)$ est appelé label du pré-trajet. Il faut remarquer qu'avec cette notation, $\gamma \xrightarrow{a} \gamma'$, implique que $\gamma \in G_a^-$ et $\gamma' \in G_a^+$.

Dans le cas où h est de longueur 1, on considère le pré-trajet de u à v :

$$u \underset{h}{\sim} v$$

Si a est T -séparante, $\pi_1(\mathcal{G}, X)$ est l'amalgame des facteurs $\pi_1(\mathcal{G}, X_1)$ et $\pi_1(\mathcal{G}, X_2)$ le long de $\varphi_a : G_a^- \rightarrow G_a^+$. Avec le corollaire 5.1, soit h conjugué v en u dans un des facteurs, soit h s'écrit sous forme réduite $h = h_1 \cdots h_{m+1}$, et il existe une suite $\gamma_1, \dots, \gamma_m$ de $G_a^- \cup G_a^+$, où deux éléments successifs de $u, \gamma_1, \dots, \gamma_m, v$ sont conjugués dans un facteur, et deux couples successifs d'éléments conjugués sont dans des facteurs distincts. De plus, on a les $m + 2$ égalités suivantes,

$$\begin{aligned} \gamma_m &= h_{p+1} v h_{p+1}^{-1} & u &= h_1 \gamma_1 h_1^{-1} \\ \forall i = 1, \dots, m-1, & & \gamma_i &= h_i \gamma_{i-1} h_i^{-1} \end{aligned}$$

chacune dans un facteur $\pi_1(\mathcal{G}, X_1)$ ou $\pi_1(\mathcal{G}, X_2)$. Puisque a est T -séparante, si $o(a)$ est dans X_1 , alors $e(a)$ est dans X_2 et inversement. Supposons par exemple, que $o(a) \in X_1$. On se donne deux couples successifs, γ_{i-1}, γ_i conjugués par h_{i-1} dans un facteur, et γ_i, γ_{i+1} conjugués par h_i dans l'autre facteur. Supposons que $\gamma_{i-1}, \gamma_i, h_{i-1}$ soient dans $\pi_1(\mathcal{G}, X_1)$. On note alors

$$\gamma_{i-1} \underset{h_{i-1}}{\sim} \gamma_i \xrightarrow{a} \gamma_i \underset{h_i}{\sim} \gamma_{i+1}$$

Il faut remarquer que l'on a bien $\gamma_i \in G_a^- = G_a^+$ et $\gamma_i = \varphi_a(\gamma_i)$. Dans l'autre cas, on note

$$\gamma_{i-1} \underset{h_{i-1}}{\sim} \gamma_i \xrightarrow{-a} \gamma_i \underset{h_i}{\sim} \gamma_{i+1}$$

et l'on a $\gamma_i \in G_{-a}^- = G_{-a}^+$ et $\gamma_i = \varphi_{-a}(\gamma_i)$. On symbolise ainsi ces conditions par la notation que l'on baptise encore de pré-trajet de u à v ,

$$u \underset{h_1}{\sim} \gamma_1 \xrightarrow{\varepsilon a} \gamma_1 \underset{h_2}{\sim} \gamma_2 \xrightarrow{-\varepsilon a} \dots \xrightarrow{\varepsilon(-1)^{m+1}a} \gamma_m \underset{h_{m+1}}{\sim} v$$

de label $h = h_1 \cdots h_{m+1}$.

Si h est de longueur 1, on a le pré-trajet trivial :

$$u \underset{h}{\sim} v$$

Revenons à la démonstration de la proposition ; on procède par induction en décomposant successivement X le long de ses arêtes. Après avoir décomposé X le long de a , on obtient l'un des pré-trajets précédents, que l'on note \mathcal{D}_1 ; il est soit trivial, soit de la forme suivante :

$$\gamma_0^+ \underset{h_0}{\sim} \gamma_1^- \xrightarrow{a_1} \dots \xrightarrow{a_i} \gamma_i^+ \underset{h_i}{\sim} \gamma_{i+1}^- \xrightarrow{a_{i+1}} \dots \xrightarrow{a_m} \gamma_m^+ \underset{h_m}{\sim} \gamma_{m+1}^-$$

La notation $\gamma_i^+ \sim \gamma_{i+1}^-$ implique la condition $\gamma_i^+ = h_i \gamma_{i+1}^- h_i^{-1}$ dans un des facteurs $\pi_1(\mathcal{G}, X_1)$ ou $\pi_1(\mathcal{G}, X_2)$, et de plus, $\gamma_i^+, \gamma_{i+1}^-$ sont dans des groupes de sommet. On peut dès-lors leur appliquer le même procédé dans $\pi_1(\mathcal{G}, X_1)$ (ou $\pi_1(\mathcal{G}, X_2)$), en décomposant X_1 (ou X_2) le long d'une arête. On obtient comme précédemment un pré-trajet \mathcal{E}_i de γ_i^+ à γ_{i+1}^- , de label h_i . On construit alors un pré-trajet \mathcal{D}_2 de u à v en substituant dans \mathcal{D}_1 pour tout $i = 0, \dots, m$, $\gamma_i^+ \sim \gamma_{i+1}^-$ par le pré-trajet \mathcal{E}_i . Il est important de remarquer que \mathcal{D}_1 et \mathcal{D}_2 ont même label h . On procède de la même façon lorsque \mathcal{D}_1 est trivial.

En répétant ce procédé, on finit par obtenir le pré-trajet \mathcal{C} , de label h ,

$$u \underset{k_0}{\sim} d_1^- \xrightarrow{\alpha_1} \dots \xrightarrow{\alpha_i} d_i^+ \underset{k_i}{\sim} d_{i+1}^- \xrightarrow{\alpha_{i+1}} \dots \xrightarrow{\alpha_q} d_q^+ \underset{h_q}{\sim} v$$

vérifiant en outre la condition que les égalités $u = h_1 d_1^- h_1^{-1}$, $d_i^+ = h_{i+1} d_{i+1}^- h_{i+1}^{-1}$ et $d_q^+ = h_{q+1} v h_{q+1}^{-1}$, ont lieu dans des sous-groupes de sommet. On a ainsi réuni toutes les conditions pour avoir un trajet de u à v , à l'exception d'une : que $(\alpha_1, \dots, \alpha_q)$ soit un chemin de X . A priori rien n'assure que ce soit le cas, et une manipulation simple montre qu'il est en effet facile d'avoir $e(\alpha_i) \neq o(\alpha_{i+1})$. Néanmoins, $d_i^+ \in G_{\alpha_i}^+ \subset G_{e(\alpha_i)}$, $d_{i+1}^- \in G_{\alpha_{i+1}}^- \subset G_{o(\alpha_{i+1})}$, et d_i^+, d_{i+1}^- sont dans un même groupe de sommet G_s . Avec la proposition 6.1, on peut construire un trajet \mathcal{C}_i^+ , de label 1, de d_i^+ à d_{i+1}^+ , d'origine $e(\alpha_i)$ et d'extrémité s . de même on construit un trajet \mathcal{C}_{i+1}^- de d_{i+1}^- à d_{i+1}^- d'origine s et d'extrémité $o(\alpha_{i+1})$. On substitue alors dans \mathcal{C} ,

$$\dots \xrightarrow{\alpha_i} d_i^+ \underset{k_i}{\sim} d_{i+1}^- \xrightarrow{\alpha_{i+1}} \dots$$

par

$$\dots \xrightarrow{\alpha_i} \underbrace{d_i^+ \xrightarrow{\beta_1} \dots \xrightarrow{\beta_r} d_i^+}_{\mathcal{C}_i^+} \underset{k_i}{\sim} \underbrace{d_{i+1}^- \xrightarrow{\delta_1} \dots \xrightarrow{\delta_s} d_{i+1}^-}_{\mathcal{C}_{i+1}^-} \xrightarrow{\alpha_{i+1}} \dots$$

Cette opération n'a pas modifié le label du pré-trajet, et cette fois-ci, $(\alpha_i, \beta_1, \dots, \beta_r, \delta_1, \dots, \delta_s, \alpha_{i+1})$ est un chemin. On procède ainsi pour tout $i = 1, \dots, q$, pour peu que ce soit nécessaire. On peut alors changer la notation \sim par \circ , car le pré-trajet obtenu, est un trajet de u à v dans $\pi_1(\mathcal{G}, X)$, ayant pour label h , ce qui conclut la preuve. ■

On obtient immédiatement :

Corollaire 6.2. *Soit (\mathcal{G}, X, T) un graphe de groupe décomposé. Soit G_s un sous-groupe de sommet de $\pi_1(\mathcal{G}, X)$, et $u \in G_s$. Alors le centralisateur $\mathcal{Z}(u)$ de u dans $\pi_1(\mathcal{G}, X)$ est l'ensemble $\mathcal{C}(u)$ des labels des circuits en u .*

6.3. Théorème de commutativité. Avec l'étude faite dans la section précédente, nous pouvons généraliser les théorèmes 5.2 et 5.5, qui caractérisent les éléments qui commutent dans un produit amalgamé et dans une extension HNN, au cas du groupe fondamental d'un graphe de groupe.

Théorème 6.2 (Théorème de commutativité dans un graphe de groupe). *Soit (\mathcal{G}, X) un graphe de groupe muni d'une décomposition. Soient $\Gamma = \pi_1(\mathcal{G}, X)$, et $x, y \in \Gamma$ des éléments qui commutent. Alors,*

- (i) *Si x est dans un sous-groupe d'arête, alors $y \in \mathcal{C}(x)$, i.e. y est le label d'un circuit en x .*
- (i') *x ou y est dans le conjugué d'un sous-groupe d'arête.*
- (ii) *Si x est dans le conjugué d'un sous-groupe de sommet G_s , et n'est pas dans le conjugué d'un sous-groupe d'arête, alors y est dans le même conjugué de G_s .*
- (iii) *Si ni x ni y n'est dans le conjugué d'un sous-groupe de sommet, alors $x = ghg^{-1}W^j$, $y = gh'g^{-1}W^k$, où $g, W \in \Gamma$, h, h' sont dans un sous-groupe d'arête G_a^- , et $ghg^{-1}, gh'g^{-1}, W$ commutent deux à deux.*

Démonstration. Cas (i). C'est le corollaire 6.2. □

Cas (i'). Il n'y a rien à montrer dans ce cas. □

Cas (ii). Si x est dans un groupe de sommet, et n'est pas dans le conjugué d'un groupe d'arête, tout circuit en x est trivial, et donc le corollaire 6.2 permet de conclure. Si x est dans le conjugué d'un groupe de sommet gG_sg^{-1} , alors $g^{-1}xg$ est dans G_s , $g^{-1}xg$ et $g^{-1}yg$ commutent, et le même raisonnement s'applique. □

Pour achever la démonstration, on procède par induction sur le nombre d'arêtes de X . Si X n'a qu'une arête, les théorèmes 5.2 et 5.5 permettent de conclure. Il est essentiel de remarquer que pour tout $g \in \Gamma$, si $x, y \in \Gamma$ commutent et vérifient une des conclusions (i), (i'), (ii) ou (iii), alors, $g x g^{-1}$ et $g y g^{-1}$ commutent et vérifient (i), (i'), (ii) ou (iii). Plus précisément, lorsque x et y vérifient (i), (i'), (ii), (iii), $g x g^{-1}$ et $g y g^{-1}$ vérifient respectivement (i'), (i'), (ii), (iii).

On considère une arête α de X . On décompose X le long de α . Si α est non T -séparante, on note Y le graphe obtenu. Alors $\Gamma = \pi_1(\mathcal{G}, X)$ est une extension HNN de $\Gamma' = \pi_1(\mathcal{G}, Y)$. Avec le théorème 5.5, soit on a la conclusion (i) (i') ou (iii), et l'on peut conclure, soit il existe $g \in \Gamma$, tel que x et y sont dans $g^{-1}\Gamma'g$. On pose alors $x' = g x g^{-1}$ et $y' = g y g^{-1}$. Les éléments x' et y' sont dans Γ' et l'on peut appliquer l'induction.

Si α est T -séparante, on note Y_1 et Y_2 les deux composantes connexes du graphe obtenu en décomposant Y le long de α . Alors Γ est un produit amalgamé de $\Gamma_1 = \pi_1(\mathcal{G}, Y_1)$ et $\Gamma_2 = \pi_1(\mathcal{G}, Y_2)$. Ainsi, avec le théorème 5.2, soit x et y vérifient les conditions (i), (i') ou (iii), soit il existe $g \in \Gamma$, tel que x et y soient dans $g^{-1}\Gamma_1g$ (respectivement $g^{-1}\Gamma_2g$). On pose alors $x' = g x g^{-1}$ et $y' = g y g^{-1}$, $x', y' \in \Gamma_1$ (respectivement $x', y' \in \Gamma_2$), et l'on peut appliquer l'induction. ■

6.4. Théorème de conjugaison. Nous nous intéressons maintenant au cas de deux éléments conjugués dans un graphe de groupe. Ce résultat n'est cependant qu'une première approximation : il peut être raffiné en un résultat plus fort, analogue du cas des amalgames (comme montré dans un cadre plus restreint dans [Pr1]) ; c'est l'objet d'un travail de l'auteur à ce jour en préparation.

Nous avons d'abord besoin d'introduire une certaine procédure de re-écriture de mots.

Définition 6.9. *Soit (\mathcal{G}, X, T) un graphe de groupe décomposé. Un ordre de décomposition est un ordre (au sens large, i.e. une relation réflexive, antisymétrique et transitive) total \preceq sur \mathcal{A}_X^+ , tel que*

$$\forall (\alpha, \beta) \in (\mathcal{A}_X^+ - \mathcal{A}_T^+) \times \mathcal{A}_T^+, \quad \alpha \preceq \beta$$

Intuitivement, un ordre de décomposition, n'est rien d'autre que le choix d'un ordre total sur \mathcal{A}_X^+ , pour lequel les arêtes non T -séparantes précèdent les arêtes T -séparantes. Puisque \mathcal{A}_X^+ est un ensemble fini, tout sous-ensemble E non vide admet un minimum pour \preceq , que nous noterons $\min_{\preceq}(E)$ ou plus simplement $\min(E)$. Ainsi on peut parler du 1^{er} , $2^{ème}$, \dots , $p^{ième}$ élément de \mathcal{A}_X^+ .

Nous allons décomposer le graphe de groupe le long de toutes ses arêtes. L'ordre de décomposition décrira l'ordre dans lequel nous effectuerons cette décomposition. Il sera purement arbitraire, nous

avons juste, par commodité, souhaité décomposer le π_1 d'abord en extension HNN, puis en amalgame.

Définition 6.10. *Un sous-graphe de groupe (\mathcal{G}, Y) de (\mathcal{G}, X) , sera dit \preceq -occurent, si soit $(\mathcal{G}, Y) = (\mathcal{G}, X)$, soit il existe un entier $n \geq 1$, tel que le graphe Y soit une composante connexe du graphe obtenu en décomposant X le long des n premiers éléments de \mathcal{A}_X^+ . C'est à dire que c'est un sous-graphe de groupe apparaissant lors de la décomposition de (\mathcal{G}, X) imposée par l'ordre de décomposition \preceq .*

Procédure de réductions cycliques successives :

Soit un graphe de groupe (\mathcal{G}, X, T) , que l'on munit d'un ordre de décomposition \preceq . Donnée une présentation des sous-groupes de sommets de (\mathcal{G}, X) , on dispose d'une présentation canonique de $\Gamma = \pi_1(\mathcal{G}, X)$, et d'une famille génératrice notée $\mathcal{G}en(X)$ (cf. théorème 3.1, remarque 5), que nous fixons dans la suite.

Considérons un élément $u \in \Gamma$, donné par un mot sur la famille génératrice $S = \mathcal{G}en(X)$ de Γ . Notons $\alpha_1 = \min(\mathcal{A}_X^+)$; on décompose le graphe de groupe (\mathcal{G}, X) le long de l'arête α_1 .

Si α_1 est non T -séparante, soit X_1 le graphe obtenu en décomposant X le long de α_1 . Alors Γ est l'extension HNN de $\Gamma_1 = \pi_1(\mathcal{G}, X_1)$ le long de $\varphi_{\alpha_1} : G_{\alpha_1}^- \rightarrow G_{\alpha_1}^+$. Remarquons que $S = S_1 \cup \{t_{\alpha_1}\}$, où $S_1 = \mathcal{G}en(X_1)$ est une famille génératrice de Γ_1 . Au sens de la décomposition HNN de Γ , on considère un mot u_1 sur S , cycliquement réduit représentant un conjugué de u dans Γ .

– Si $|u_1| > 1$, alors u_1 est un représentant satisfaisant de la classe de conjugaison de u , et la procédure s'arrête.

– Si $|u_1| = 1$, alors u_1 est un mot sur S_1 , et représente un élément de Γ_1 . On considère l'ordre de décomposition induit par \preceq sur $\mathcal{A}_{X_1}^+$, et on répète la procédure à u_1 dans (\mathcal{G}, X_1, T_1) , (en posant $T_1 = T \cap X_1$).

Si α_1 est T -séparante, on considère les graphes X_1, X_2 , obtenus en décomposant X le long de α_1 , et $\Gamma_1 = \pi_1(\mathcal{G}, X_1), \Gamma_2 = \pi_1(\mathcal{G}, X_2)$. Alors Γ est l'amalgame des groupes Γ_1 et Γ_2 le long de $\varphi_{\alpha_1} : G_{\alpha_1}^- \rightarrow G_{\alpha_1}^+$. Au sens de cette décomposition de Γ , on peut considérer un mot u_1 sur S cycliquement réduit, conjugué à u dans Γ .

– Si $|u_1| > 1$, alors u_1 est un représentant de la classe de conjugaison de u satisfaisant et la procédure s'arrête.

– Si $|u_1| = 1$, alors u_1 est un mot sur $\mathcal{G}en(X_1)$ ou $\mathcal{G}en(X_2)$, et respectivement $u_1 \in \Gamma_1$ ou $u_1 \in \Gamma_2$. Sans perte de généralité, supposons que $u_1 \in \Gamma_1$. On considère l'ordre de décomposition induit par \preceq sur $\mathcal{A}_{X_1}^+$, et on réapplique la même procédure à u_1 dans (\mathcal{G}, X_1, T_1) .

En répétant ce procédé, on finit par trouver un mot u_1 , représentant de la classe de conjugaison de u dans Γ , avec un entier $p \geq 0$, et un graphe X_p \preceq -occurent, composante connexe du graphe obtenu en décomposant X le long des p premiers éléments $\alpha_1, \alpha_2, \dots, \alpha_p$ de \mathcal{A}_X^+ (en posant $X_0 = X$), tel que $u_1 \in \pi_1(\mathcal{G}, X_p)$, et soit :

– Le graphe X_p est réduit à un sommet s , u_1 est un mot sur $\mathcal{G}en(s)$, et $u_1 \in G_s$.

– Le graphe X_p n'est pas réduit à un sommet. Lorsque l'on décompose X_p le long de l'arête $\alpha_{p+1} = \min(\mathcal{A}_{X_p}^+)$, $\pi_1(\mathcal{G}, X_p)$ se décompose en une extension HNN ou un amalgame, et au sens de cette décomposition, u_1 est un mot cycliquement réduit (sur $\mathcal{G}en(X_p)$), de longueur $|u_1| > 1$.

Théorème 6.3 (Théorème de conjugaison dans un graphe de groupe).

Soit (\mathcal{G}, X, T) un graphe de groupe décomposé muni d'un ordre de décomposition \preceq . Soient $u, v \in \pi_1(\mathcal{G}, X)$ des éléments conjugués, et les mots u_1, v_1 obtenus en appliquant la procédure de réductions cycliques successives à des mots sur $\mathcal{G}en(X)$ représentant u et v . Alors soit :

(i) *Il existe deux sommets s, s' de X , tels que u_1 et v_1 soient des mots respectivement sur $\mathcal{G}en(s)$ et $\mathcal{G}en(s')$. En particulier, u_1 et v_1 représentent dans $\pi_1(\mathcal{G}, X)$ des éléments des sous-groupes de sommet $G_s, G_{s'}$, et il existe un trajet de u_1 à v_1 dans (\mathcal{G}, X, T) .*

(ii) *u_1 et v_1 sont des mots sur $\mathcal{G}en(X_p)$ où X_p est un sous-graphe \preceq -occurent de X , et représentent des éléments conjugués dans $\Gamma_p = \pi_1(\mathcal{G}, X_p)$. En décomposant X_p le long de l'arête $\alpha_{p+1} = \min(\mathcal{A}_{X_p}^+)$, Γ_p se décompose, et au sens de cette décomposition, u_1, v_1 sont de même longueur $|u_1| = |v_1| > 1$*

(les notations sont celles du paragraphe précédent).

Démonstration. Considérons donc sous ces hypothèses, deux éléments u, v de $\Gamma = \pi_1(\mathcal{G}, X)$ conjugués, donnés par des mots sur la famille génératrice $\mathcal{G}en(X)$. On leur applique la procédure de réductions cycliques successives, pour obtenir des mots u_1, v_1 , représentants de leur classe de conjugaison dans Γ . Observons de plus près, ce qui peut se passer à chaque étape de la décomposition de X . On décompose X le long d'une arête α . Le groupe Γ se décompose soit en une extension HNN de Γ_1 , soit en un amalgame de Γ_1, Γ_2 , le long de $\varphi_\alpha : G_\alpha^- \rightarrow G_\alpha^+$, selon si α est ou non T -séparante, et Γ_1 , (resp. et Γ_2) est(sont) le(s) groupe(s) du(des) graphe(s) obtenu(s). Avec les corollaires 5.1 et 5.2, dans cette décomposition de Γ on obtient des représentants cycliquement réduits u_0, v_0 des classes de conjugaison de u et v , qui ont même longueur, et l'on est dans exactement un des cas suivants :

cas 1) $|u_0| = |v_0| > 1$.

cas 2) $|u_0| = |v_0| = 1$, et u_0, v_0 sont dans un même facteur Γ_1 ou Γ_2 , et conjugués dans ce facteur.

cas 3) $|u_0| = |v_0| = 1$, et u_0, v_0 ne sont pas conjugués dans un même facteur. Dans ce cas u_0 est dans un facteur, et conjugué dans ce facteur à un élément c_u de G_α^\pm , v_0 est dans un facteur et conjugué dans ce facteur à un élément c_v de G_α^\pm , et c_u et c_v sont conjugués dans Γ .

Dans le cas 1), on pose $u_1 = u_0, v_1 = v_0$, et la procédure s'arrête. On vérifie la conclusion (ii) du théorème.

Dans le cas 2), si u_0, v_0 sont dans un facteur $\pi_1(\mathcal{G}, X_1)$, et si X_1 est réduit à un sommet s , alors on pose $u_1 = u_0, v_1 = v_0$; u_1 et v_1 sont conjugués dans G_s , et donc il existe un trajet (trivial) de u_1 à v_1 , et la procédure s'arrête. On vérifie la conclusion (i) du théorème. Sinon, on applique la même procédure à u_0 et v_0 dans (\mathcal{G}, X_1) .

Dans le cas 3), puisque c_u et c_v sont conjugués dans Γ , et sont dans les sous-groupes d'arête G_α^- ou G_α^+ , avec la proposition 6.2, il existe un trajet \mathcal{C} de c_u à c_v dans (\mathcal{G}, X) . Si les facteurs sont des groupes de sommet, on pose $u_1 = u_0$ et $v_1 = v_0$, et on obtient immédiatement l'existence du trajet souhaité de u_1 à v_1 dans (\mathcal{G}, X) . On vérifie la conclusion (i) du théorème, et la procédure s'arrête. Sinon, on applique le même procédé de réduction cyclique successive, dans un facteur, à u_0 et c_u d'une part, et v_0 et c_v d'autre part.

Sans perte de généralité, supposons que $c_u \in G_\alpha^-$, et que l'arête α a pour origine un sommet du graphe X_1 . Ainsi, $G_\alpha^- \subset \Gamma_1 = \pi_1(\mathcal{G}, X_1)$, et $u_0, c_u \in \Gamma_1$. Puisque c_u est dans le sous-groupe d'arête G_α^- de (\mathcal{G}, X_1) , dans toute décomposition de (\mathcal{G}, X_1) le long d'une arête, c_u est un mot de longueur 1. Pour poursuivre la procédure, on décompose (\mathcal{G}, X_1) le long de l'arête $\beta = \min(\mathcal{A}_{X_1}^+)$, ce qui décompose le groupe Γ_1 en amalgame ou en extension HNN. Dans cette décomposition de Γ_1 , c_u est de longueur 1, et puisque u_0 et c_u sont conjugués dans Γ_1 , en réduisant cycliquement u_0 , on obtient un mot u'_0 de longueur 1, dans la classe de conjugaison de u_0 et de c_u dans Γ_1 . Ainsi, on se trouve dans les cas 2) ou 3) figurant ci-dessus. Puisque pour tout sous-graphe de groupe (\mathcal{G}, Y) de (\mathcal{G}, X) , un élément d'un sous-groupe d'arête G_γ^- de $\pi_1(\mathcal{G}, Y)$ est de longueur 1 dans toute décomposition de $\pi_1(\mathcal{G}, Y)$ le long d'une arête de Y , le même argument montre qu'en répétant le même procédé, on ne se trouvera jamais dans le cas 1) ci-dessus. Aussi, on finira par déterminer un conjugué u_1 de u dans Γ dans un sous-groupe de sommet G_s , conjugué à $c_u \in G_\alpha^-$ dans Γ , et donc un trajet \mathcal{C}_u dans (\mathcal{G}, X) de u_1 à c_u . En procédant de la même façon avec c_v et v_0 , on trouvera de même un élément v_1 dans un sous-groupe de sommet, conjugué de v , et un trajet \mathcal{C}_v de v_1 à c_v dans (\mathcal{G}, X) . Alors, le trajet produit $\mathcal{C}_u \mathcal{C}_v^{-1}$ est un trajet de u_1 à v_1 dans (\mathcal{G}, X) . On vérifie alors la conclusion (i) du théorème. ■

6.5. Problème de la conjugaison et double d'un groupe. Nous montrons dans cette section que le problème de la conjugaison dans un groupe G se réduit au problème de la conjugaison dans le double de G . Commençons par définir la notion de double d'un groupe.

Définition 6.11. Soient G un groupe, et H_1, H_2, \dots, H_n des sous-groupes de G . Considérons une copie isomorphe G' de G , et un isomorphisme $\varphi : G \rightarrow G'$. Notons H'_1, H'_2, \dots, H'_n les images respectives de H_1, H_2, \dots, H_n par φ . Considérons le graphe de groupe ayant deux sommets s, s' , et n arêtes $\alpha_1, \alpha_2, \dots, \alpha_n$, ayant pour origine s et extrémité s' , avec $G_s = G, G_{s'} = G'$, et pour $i = 1, \dots, n, G_{\alpha_i}^- = H_i, G_{\alpha_i}^+ = H'_i$, et φ_{α_i} est la restriction de φ à H_i . Le groupe fondamental de (\mathcal{G}, X) est appelé le double de G le long des sous-groupes H_1, H_2, \dots, H_n , et pourra être abusivement noté $\mathcal{2}G$.

Théorème 6.4. *Soient G un groupe et $2G$ son double comme défini ci-dessus. Alors G se plonge naturellement dans $2G$, et si $u, v \in G$, alors u et v sont conjugués dans $2G$ si et seulement si ils sont conjugués dans G .*

Démonstration. Reprenons les notations de la définition 6.11. La première assertion provient clairement de la définition. Puisque G se plonge dans $2G$, si u et v sont conjugués dans G , alors ils sont conjugués dans $2G$; montrons la réciproque. Supposons que u et v soient conjugués dans $2G$. Puisque u et v sont dans le sous-groupe de sommet $G_s = G$, avec le théorème 6.3, il existe un trajet réduit \mathcal{C} de u à v . Si \mathcal{C} est trivial, alors u et v sont conjugués dans G , aussi on peut supposer que \mathcal{C} est non trivial. Puisque u et v sont dans le même groupe de sommet G_s , puisque X n'a que deux sommets s, s' , et que toute arête α_i a pour origine s et pour extrémité s' , le chemin sous-jacent à \mathcal{C} est nécessairement de longueur paire. De plus, si p est la longueur du chemin, il existe une application de $\{1, \dots, p\}$ dans $\{1, \dots, n\}$ (on note σ_i l'image de i), telle que le chemin sous-jacent à \mathcal{C} soit :

$$(\alpha_{\sigma_1}, -\alpha_{\sigma_2}, \dots, \alpha_{\sigma_{2i-1}}, -\alpha_{\sigma_{2i}}, \dots, \alpha_{\sigma_{p-1}}, -\alpha_{\sigma_p})$$

Ainsi, nécessairement, \mathcal{C} est de la forme $\mathcal{C}_0.\mathcal{C}_1$ avec \mathcal{C}_0 :

$$u \underset{k_1}{\circlearrowleft} u_1^- \xrightarrow{\alpha_{\sigma_1}} u_1^+ \underset{h'}{\circlearrowleft} u_2^- \xrightarrow{-\alpha_{\sigma_2}} u_2^+ = u_2^+$$

où $u, u_1^-, u_2^+, k_1 \in G$, $u_1^+, u_2^-, h' \in G'$. Puisque $u_1^+ = \varphi(u_1^-)$, $u_2^- = \varphi(u_2^+)$, et $h' = \varphi(h)$ pour un certain $h \in G$, alors $u_1^- = hu_2^+h^{-1}$ dans G . Ainsi on a le trajet trivial \mathcal{D} de u à u_2^+ :

$$u \underset{k_1h}{\circlearrowleft} u_2^+$$

dans $G_s = G$. Considérons le trajet $\mathcal{D}.\mathcal{C}_1$. Il va de u à v , et a pour chemin sous-jacent :

$$(\alpha_{\sigma_3}, -\alpha_{\sigma_4}, \dots, \alpha_{\sigma_{2i-1}}, -\alpha_{\sigma_{2i}}, \dots, \alpha_{\sigma_{p-1}}, -\alpha_{\sigma_p})$$

qui est de longueur $p - 2$. Ainsi en appliquant le même argument à $\mathcal{D}.\mathcal{C}_1$, puis, successivement, à tous les trajets de u à v obtenus, on finit par construire un trajet trivial de u à v . Ainsi u et v sont conjugués dans G . \blacksquare

6.6. Propriétés d'un graphe de groupe sans circuit. Après l'étude faite tout au long de cette section, nous établissons que si un graphe de groupe ne contient pas de circuit au sens défini ci-dessous, alors la structure de racine, le centre et les centralisateurs de son groupe fondamental sont dans un sens triviaux. Cette étude est poursuivie, dans un cadre plus large, dans le chapitre 6 de ma thèse ([Pr2]) afin d'inclure le cas d'un graphe de groupe associé à la décomposition JSJ d'un 3-variété Haken fermée.

Définition 6.12. *Nous aurons besoin dans la pratique de parler de sous-trajet d'un trajet \mathcal{T} . Si \mathcal{T} est donné par,*

$$u \circlearrowleft c_1^- \xrightarrow{a_1} \dots \xrightarrow{a_i} c_i^+ \underset{h_i}{\circlearrowleft} c_{i+1}^- \xrightarrow{a_{i+1}} \dots \xrightarrow{a_n} c_n^+ \circlearrowleft v$$

pour considérer un sous-trajet de \mathcal{T} , on considère un sous-chemin (a_p, \dots, a_q) de (a_1, \dots, a_n) . On restreint alors le trajet à ce sous-chemin. On a plusieurs façons de procéder, qui sont désignées par exemple par les notations :

$$u \circlearrowleft c_1^- \xrightarrow{a_1} \dots \xrightarrow{a_{p-1}} c_{p-1}^+ \underset{h_{p-1}}{\circlearrowleft} \underbrace{c_p^- \xrightarrow{a_p} \dots \xrightarrow{a_q} c_q^+ \underset{h_q}{\circlearrowleft} c_{q+1}^- \dots \xrightarrow{a_n} c_n^+ \circlearrowleft v}_{\mathcal{D}}$$

$$u \circlearrowleft c_1^- \xrightarrow{a_1} \dots \xrightarrow{a_{p-1}} c_{p-1}^+ \underset{h_{p-1}}{\circlearrowleft} \underbrace{c_p^- \xrightarrow{a_p} \dots \xrightarrow{a_q} c_q^+ \underset{h_q}{\circlearrowleft} c_{q+1}^- \dots \xrightarrow{a_n} c_n^+ \circlearrowleft v}_{\mathcal{D}}$$

$$u \circlearrowleft c_1^- \xrightarrow{a_1} \dots \xrightarrow{a_{p-1}} c_{p-1}^+ \underset{h_{p-1}}{\circlearrowleft} \underbrace{c_p^- \xrightarrow{a_p} \dots \xrightarrow{a_q} c_q^+ \underset{h_q}{\circlearrowleft} c_{q+1}^- \dots \xrightarrow{a_n} c_n^+ \circlearrowleft v}_{\mathcal{D}}$$

Qui correspondent respectivement aux sous-trajets :

$$\begin{aligned} c_{p-1}^+ \circlearrowleft_{h_{p-1}} c_p^- \xrightarrow{a_p} \cdots \xrightarrow{a_q} c_q^+ \circlearrowleft_{h_q} c_{q+1}^- \\ c_{p-1}^+ \circlearrowleft_{h_{p-1}} c_p^- \xrightarrow{a_p} \cdots \xrightarrow{a_q} c_q^+ = c_q^+ \\ c_p^- = c_p^- \xrightarrow{a_p} \cdots \xrightarrow{a_q} c_q^+ = c_q^+ \end{aligned}$$

Nous pourrions aussi désigner un sous-trajet par l'utilisation de pointillés, comme dans la définition qui suit.

Définition 6.13. *Un trajet est dit réduit, lorsqu'il ne contient pas de sous-trajet de la forme suivante, avec $h \in G_a^+ = G_{-a}^-$:*

$$\cdots c_1 \xrightarrow{a} c_2 \circlearrowleft_h c_3 \xrightarrow{-a} c_4 \cdots$$

dans G_a^+

Si un trajet \mathcal{C} n'est pas réduit, on peut procéder à la substitution dans \mathcal{C} , consistant à remplacer

$$\cdots \xrightarrow{a_0} u \circlearrowleft_{h_u} c_1 \xrightarrow{a} c_2 \circlearrowleft_h c_3 \xrightarrow{-a} c_4 \circlearrowleft_{h_v} v \xrightarrow{a_1} \cdots$$

par

$$\cdots \xrightarrow{a_0} u \circlearrowleft_{h_u \varphi_{-a}(h) h_v} v \xrightarrow{a_1} \cdots$$

Une telle opération est appelée une réduction de \mathcal{C} .

Il est clair que tout trajet peut être transformé par une suite finie de réductions en un trajet réduit de même label. Il est moins clair que l'ordre des réductions n'importe pas, *i.e.* que le trajet réduit obtenu est unique. Il est élémentaire, de vérifier que c'est cependant bien le cas.

Définition 6.14. *Un graphe de groupe décomposé est dit sans circuit, si pour tout $u \neq 1$, tout circuit réduit en u est trivial. Remarquons que l'adjectif décomposé est ici redondant.*

Exemple : Considérons un graphe de groupe (\mathcal{G}, X) , dont les groupes de sommets G_s vérifient tous la propriété suivante : si G_1, G_2, \dots, G_n sont les sous-groupes d'arête de G_s , alors si $i, j = 1, 2, \dots, n$, et $i \neq j$, aucun élément non trivial de G_i n'est conjugué à un élément de G_j , et si deux éléments c, c' de G_i , sont conjugués par un élément h_i dans G_s , alors $c = c'$ et $h_i \in G_s$. Alors (\mathcal{G}, X) est sans circuit. C'est le cas par exemple pour le graphe associé à une décomposition JSJ d'une variété Haken dont toutes les pièces sont des variétés hyperboliques de volume fini non élémentaires.

Le groupe fondamental d'un graphe de groupe sans circuit a des centralisateurs, un centre, et une structure de racine, triviales dans un certain sens, comme énoncé ci-dessous.

Théorème 6.5. *Soit (\mathcal{G}, X, T) un graphe de groupe décomposé sans circuit. Soit $u \neq 1$ un élément de $\pi_1(\mathcal{G}, X)$ et $\mathcal{Z}(u)$ le centralisateur de u dans $\pi_1(\mathcal{G}, X)$. Alors, soit :*

- (i) *Si u est dans un sous-groupe de sommet G_s , $\mathcal{Z}(u)$ est le centralisateur de u dans G_s .*
- (ii) *u est dans un conjugué d'un sous-groupe de sommet.*
- (iii) *Si u n'est pas dans le conjugué d'un sous-groupe de sommet, alors $\mathcal{Z}(u)$ est cyclique infini.*

Démonstration. Cas (i). Avec le théorème 6.2, si x est dans un groupe de sommet, et si y commute avec x , alors y est le label d'un circuit trivial, et donc y est dans G_s .

Cas (iii). Supposons que y soit dans $\mathcal{Z}(u)$, et que x ne soit pas dans le conjugué d'un facteur. Avec le théorème 6.2, $x = ghg^{-1}W^r$ et $y = gh'g^{-1}W^s$, et $ghg^{-1}, gh'g^{-1}, W$ commutent deux à deux. Ainsi, soit $h = h' = 1$, soit $g^{-1}Wg$ commute avec un élément non trivial d'un sous-groupe d'arête G_a^- . Ainsi $g^{-1}Wg$ est le label d'un circuit réduit, et donc puisque (\mathcal{G}, X) est sans circuit, $g^{-1}Wg$ est dans le groupe de sommet G_s , contenant G_a^- , avec $s = o(a)$. Ainsi x ou y est dans $gG_s g^{-1}$. Mais avec (i), ceci implique que x est dans $gG_s g^{-1}$, ce qui est contradictoire. Ainsi, $h = h' = 1$, et x et y sont dans le groupe cyclique engendré par W . Pour conclure, W n'est pas dans le conjugué

d'un sous-groupe de sommet, et est donc sans torsion. ■

Théorème 6.6. *Soient (\mathcal{G}, X, T) un graphe de groupe décomposé minimal, sans circuit, Γ son groupe fondamental, et $Z(\Gamma)$ le centre de Γ . Alors soit :*

- (i) $Z(\Gamma) = \langle 1 \rangle$,
- (ii) X est réduit à un sommet s , et donc $Z(\Gamma) = Z(G_s)$,
- (iii) X est réduit à un sommet s et une arête, avec $G_s = \langle 1 \rangle$, et donc $Z(\Gamma) = \Gamma = \mathbb{Z}$.

Démonstration. Traitons tout d'abord le cas où X contient au moins deux sommets. Alors nécessairement T contient un sous-graphe T_0 constitué de deux sommets s_0, s_1 et d'une arête a d'origine s_0 et d'extrémité s_1 ; notons Γ_0 le groupe fondamental du sous-graphe de groupe associé à T_0 . Avec le théorème 6.1 le centre de Γ_0 contient le centre de Γ . Montrons par l'absurde que $Z(G_0)$ est trivial : soit $\alpha \neq 1$ dans $Z(G_0)$; nécessairement α est dans le sous-groupe d'arête G_a (théorème 5.3). Par hypothèse de minimalité il existe $u \in G_{s_1} \setminus G_a$ et on a alors le circuit réduit non trivial en α :

$$\alpha = \alpha \xrightarrow{a} \alpha \underset{u}{\circlearrowleft} \alpha \xrightarrow{-a} \alpha = \alpha$$

ce qui est contradictoire. Ainsi on a la conclusion (i).

Considérons maintenant le cas où X contient un unique sommet. La conclusion (ii) étant évidente supposons en outre que X contient au moins une arête a ; notons Γ_0 le sous-groupe de Γ associé au sous-graphe de groupe obtenu en supprimant l'arête a de X ; Γ est l'extension HNN de Γ_0 le long de φ_a . Nécessairement $\text{Fix } a = \langle 1 \rangle$; en effet si $x \in \text{Fix } a$ on a le circuit réduit non trivial en x :

$$x = x \xrightarrow{a} x = x$$

et donc par hypothèse $x = 1$. De plus nécessairement il n'existe pas $n > 0$, $u \in \Gamma_0$ et $x \neq 1 \in \Gamma_0$, tels que $\varphi^n(x) = uxu^{-1}$; en effet à contrario on aurait le circuit réduit non trivial en x suivant :

$$x = x \xrightarrow{a} \dots \xrightarrow{a} \dots \xrightarrow{a} uxu^{-1} \underset{u^{-1}}{\circlearrowleft} x$$

n fois

En appliquant le théorème 5.6, soit $Z(\Gamma)$ est trivial, soit $\Gamma_0 = \langle 1 \rangle$ et on obtient alors la condition (iii). ■

Rappelons qu'un groupe G est dit avoir une *structure de racines triviale* (SRT), si pour tout $g \in G$, l'ensemble $\{x \in G ; \exists n \in \mathbb{Z}_*, x^n = g\}$ est inclus dans un sous-groupe cyclique.

Théorème 6.7. *Soit (\mathcal{G}, X, T) un graphe de groupe décomposé, sans circuit. Soient g et x des éléments non triviaux de $\pi_1(\mathcal{G}, X)$. Si x est une racine de g , alors soit x et g sont dans un même conjugué d'un sous-groupe de sommet, soit x est dans le sous-groupe cyclique infini $Z(g)$. En particulier $\pi_1(\mathcal{G}, X)$ est SRT si et seulement si tous ses groupes de sommet sont SRT.*

Démonstration. il suffit de remarquer que sous ces hypothèses, x et g commutent, et d'appliquer le théorème 6.5. ■

7. Appendice : démonstration du théorème 5.4

Nous montrons d'abord que γ est conjugué à un élément cycliquement réduit. Nous procédons par l'absurde. Supposons que γ ne soit pas conjugué à un élément cycliquement réduit. Soit K la classe des conjugués de γ , et soit μ un élément de K de longueur minimale dans K . Puisque μ n'est pas cycliquement réduit, alors nécessairement $|\mu| > 1$.

L'élément μ s'écrit sous forme réduite $\mu = \mu_1 t^{\varepsilon_1} \cdots \mu_n t^{\varepsilon_n} \mu_{n+1}$, et quitte à conjuguer μ par μ_{n+1} , on peut supposer que $\mu_{n+1} = 1$, c'est à dire que $\mu = \mu_1 t^{\varepsilon_1} \cdots \mu_n t^{\varepsilon_n}$. Puisque μ n'est pas cycliquement réduit, $|\mu| > 2$, et $t^{\varepsilon_n} \mu_1 t^{\varepsilon_1}$ est un pinch, et alors :

$$\begin{aligned} \mu_n t^{\varepsilon_n} \mu t^{-\varepsilon_n} \mu_n^{-1} &= \mu_n t^{\varepsilon_n} \cdot \mu_1 t^{\varepsilon_1} \mu_2 \cdots t^{\varepsilon_{n-1}} \mu_n t^{\varepsilon_n} \cdot t^{-\varepsilon_n} \mu_n^{-1} \\ &= (\mu_n \phi^{-\varepsilon_n}(\mu_1) \mu_2) \cdot t^{\varepsilon_2} \mu_2 \cdots \mu_{n-1} t^{\varepsilon_{n-1}} \end{aligned}$$

En posant $\mu'_1 = \mu_n \phi^{-\varepsilon_n}(\mu_1) \mu_2$

$$= \mu'_1 t^{\varepsilon_2} \cdots \mu_{n-1} t^{\varepsilon_{n-1}}$$

qui est dans K , et de longueur strictement inférieure à $|\mu|$, ce qui est contradictoire. \square

Cas (i). Si γ est conjugué à un élément $c \in C_{+1} \cup C_{-1}$.

$$\gamma = h c h^{-1} \quad \text{où} \quad h = h_1 t^{\varepsilon_1} \cdots h_p t^{\varepsilon_p} h_{p+1}$$

et h est réduit. Nous raisonnons par induction sur $|h|$.

Si $|h| = 1$, γ est conjugué à c par l'élément $h = h_1$, qui est dans A , et la conclusion est donc vérifiée.

Supposons que $|h| > 1$.

$$\begin{aligned} \gamma &= h c h^{-1} \\ &= h_1 t^{\varepsilon_1} \cdots h_p t^{\varepsilon_p} h_{p+1} c h_{p+1}^{-1} t^{-\varepsilon_p} \cdots t^{-\varepsilon_1} h_1^{-1} \end{aligned}$$

Le membre de droite n'est pas réduit, et donc contient un pinch. Puisque h est réduit, $t^{\varepsilon_p} h_{p+1} c h_{p+1}^{-1} t^{-\varepsilon_p}$ est un pinch, *i.e.* $h_{p+1} c h_{p+1}^{-1} \in C_{\varepsilon_p}$. On pose $c_{2p} = c$, et $c_{2p-1} = h_{p+1} c h_{p+1}^{-1}$. Alors :

$$\begin{aligned} \gamma &= h_1 t^{\varepsilon_1} \cdots h_p t^{\varepsilon_p} c_{2p-1} t^{-\varepsilon_p} h_p^{-1} \cdots t^{-\varepsilon_1} h_1^{-1} \\ &= h_1 t^{\varepsilon_1} \cdots h_p \phi^{-\varepsilon_p}(c_{2p-1}) h_p^{-1} \cdots t^{-\varepsilon_1} h_1^{-1} \end{aligned}$$

en posant $c_{2p-2} = \phi^{-\varepsilon_p}(c_{2p-1}) \in C_{-\varepsilon_p}$

$$\begin{aligned} \gamma &= h_1 t^{\varepsilon_1} \cdots t^{\varepsilon_{p-1}} h_p c_{2p-2} h_p^{-1} t^{-\varepsilon_{p-1}} \cdots t^{-\varepsilon_1} h_1^{-1} \\ &= h' c_{2p-2} h'^{-1} \end{aligned}$$

en posant $h' = h_1 t^{\varepsilon_1} \cdots t^{\varepsilon_{p-1}} h_p$. On a obtenu la suite $(c_{2p-2}, c_{2p-1}, c_{2p} = c)$, d'éléments de $C_{+1} \cup C_{-1}$, où

$$\begin{aligned} c_{2p-2} &= \phi^{-\varepsilon_p}(c_{2p-1}) \\ c_{2p-1} &= h_{p+1} \cdot c_{2p} \cdot h_{p+1}^{-1} \end{aligned}$$

Puisque $\gamma = h' c_{2p-2} h'^{-1}$, où $|h'| < |h|$, on peut procéder à l'induction, et ce faisant on construira la suite c_0, c_1, \dots, c_{2p} , d'éléments de $C_{+1} \cup C_{-1}$, vérifiant les conclusions du théorème. \square

Cas (ii). Si γ est conjugué à un élément $\gamma' \in A$, et n'est pas conjugué à un élément de $C_{+1} \cup C_{-1}$.

$$\begin{aligned}\gamma' &= h \gamma h^{-1} \\ &= h_1 \cdots t^{\varepsilon_n} h_{n+1} \gamma h_{n+1}^{-1} t^{-\varepsilon_n} \cdots h_1^{-1}\end{aligned}$$

qui est dans A , et donc soit $n = 0$, soit l'écriture n'est pas réduite. Or h est réduit, et donc, si $n \neq 0$, $t^{\varepsilon_n} h_{n+1} \gamma h_{n+1}^{-1} t^{-\varepsilon_n}$ est un pinch, ce qui est impossible, puisque γ n'est pas conjugué à un élément de $C_{+1} \cup C_{-1}$. Donc $n = 0$, c'est à dire γ est conjugué à γ' dans A . \square

Cas (iii). Si γ est conjugué à un élément cycliquement réduit $\gamma' = u_1 t^{\mu_1} \cdots u_m t^{\mu_m}$

$$\gamma = h \gamma' h^{-1} = h_1 t^{\varepsilon_1} \cdots t^{\varepsilon_n} h_{n+1} \gamma' h_{n+1}^{-1} t^{-\varepsilon_n} \cdots t^{-\varepsilon_1} h_1^{-1}$$

où h est réduit. Nous procédons par induction sur $|h|$.

Si $|h| = 1$.

$$\gamma = h_1 \gamma' h_1^{-1} = h_1 u_1 t^{\mu_1} \cdots u_m t^{\mu_m} h_1^{-1}$$

Le membre de droite est réduit (car γ' est réduit), tandis que le membre de gauche γ est cycliquement réduit. Alors h_1^{-1} , et donc h_1 , est dans C_{μ_m} , et la conclusion est vérifiée.

Si $|h| > 1$.

$$\begin{aligned}\gamma &= h_1 t^{\varepsilon_1} \cdots t^{\varepsilon_n} h_{n+1} \gamma' h_{n+1}^{-1} t^{-\varepsilon_n} \cdots t^{-\varepsilon_1} h_1^{-1} \\ &= h_1 t^{\varepsilon_1} \cdots t^{\varepsilon_n} h_{n+1} u_1 t^{\mu_1} \cdots u_m t^{\mu_m} h_{n+1}^{-1} t^{-\varepsilon_n} \cdots t^{-\varepsilon_1} h_1^{-1}\end{aligned}$$

et le membre de droite est de longueur supérieure à $|\gamma|$, et donc contient un pinch. Puisque h et γ' sont réduits, ce ne peut-être que $t^{\varepsilon_n} h_{n+1} u_1 t^{\mu_1}$ ou $t^{\mu_m} h_{n+1}^{-1} t^{-\varepsilon_n}$.

Si $t^{\varepsilon_n} h_{n+1} u_1 t^{\mu_1}$ est un pinch ; alors $\varepsilon_n = -\mu_1$ et $h_{n+1} u_1 = \alpha \in C_{\varepsilon_n}$,

$$\gamma = h_1 t^{\varepsilon_1} \cdots t^{\varepsilon_n} h_{n+1} u_1 t^{\mu_1} \cdots u_m t^{\mu_m} h_{n+1}^{-1} t^{-\varepsilon_n} \cdots t^{-\varepsilon_1} h_1^{-1}$$

en remplaçant $h_{n+1} u_1$ par α , et h_{n+1}^{-1} par $u_1 \alpha^{-1}$,

$$\begin{aligned}\gamma &= h_1 t^{\varepsilon_1} \cdots h_n t^{\varepsilon_n} \alpha t^{\mu_1} \cdots u_m t^{\mu_m} u_1 \alpha^{-1} t^{-\varepsilon_n} h_n^{-1} \cdots t^{-\varepsilon_1} h_1^{-1} \\ &= h_1 t^{\varepsilon_1} \cdots t^{\varepsilon_{n-1}} h_n \phi^{-\varepsilon_n}(\alpha) u_2 \cdots u_m t^{\mu_m} u_1 t^{-\varepsilon_n} \phi^{-\varepsilon_n}(\alpha^{-1}) h_n^{-1} t^{-\varepsilon_{n-1}} \cdots t^{-\varepsilon_1} h_1^{-1} \\ &= h_1 t^{\varepsilon_1} \cdots t^{\varepsilon_{n-1}} h_n \phi^{-\varepsilon_n}(\alpha) u_2 \cdots u_m t^{\mu_m} u_1 t^{-\varepsilon_n} \phi^{-\varepsilon_n}(\alpha)^{-1} h_n^{-1} t^{-\varepsilon_{n-1}} \cdots t^{-\varepsilon_1} h_1^{-1}\end{aligned}$$

puisque $\varepsilon_n = -\mu_1$,

$$\gamma = h_1 t^{\varepsilon_1} \cdots t^{\varepsilon_{n-1}} h_n \phi^{\mu_1}(\alpha) u_2 t^{\mu_2} \cdots u_m t^{\mu_m} u_1 t^{\mu_1} \phi^{\mu_1}(\alpha)^{-1} h_n^{-1} t^{-\varepsilon_{n-1}} \cdots t^{-\varepsilon_1} h_1^{-1}$$

en posant $h'_n = h_n \phi^{\mu_1}(\alpha)$,

$$\gamma = h_1 t^{\varepsilon_1} \cdots t^{\varepsilon_{n-1}} h'_n u_2 t^{\mu_2} \cdots u_m t^{\mu_m} u_1 t^{\mu_1} h'_n^{-1} t^{-\varepsilon_{n-1}} \cdots t^{-\varepsilon_1} h_1^{-1}$$

et en posant $h' = h_1 t^{\varepsilon_1} \cdots t^{\varepsilon_{n-1}} h'_n$

$$\gamma = h' (u_2 t^{\mu_2} \cdots u_m t^{\mu_m} u_1 t^{\mu_1}) h'^{-1}$$

Et alors γ s'obtient en conjuguant un conjugué cyclique de γ' par un élément réduit, h' , avec $|h'| < |h|$.

Si $t^{\mu_m} h_{n+1}^{-1} t^{-\varepsilon_n}$ est un pinch, alors $h_{n+1} \in C_{\mu_m}$, et $\varepsilon_n = \mu_m$.

$$\gamma = h_1 t^{\varepsilon_1} \cdots t^{\varepsilon_n} h_{n+1} u_1 t^{\mu_1} \cdots u_m t^{\mu_m} h_{n+1}^{-1} t^{-\varepsilon_n} \cdots t^{-\varepsilon_1} h_1^{-1}$$

après réduction,

$$\begin{aligned}\gamma &= h_1 t^{\varepsilon_1} \dots t^{\varepsilon_n} h_{n+1} u_1 t^{\mu_1} \dots u_m \phi^{-\mu_m} (h_{n+1})^{-1} h_n^{-1} \dots t^{-\varepsilon_1} h_1^{-1} \\ \gamma &= h_1 t^{\varepsilon_1} \dots h_n \phi^{-\varepsilon_n} (h_{n+1}) t^{\varepsilon_n} u_1 t^{\mu_1} \dots u_m \phi^{-\mu_m} (h_{n+1})^{-1} h_n^{-1} \dots t^{-\varepsilon_1} h_1^{-1}\end{aligned}$$

en posant $h'_n = h_n \phi^{-\mu_m} (h_{n+1})$,

$$\gamma = h_1 t^{\varepsilon_1} \dots h'_n t^{\varepsilon_n} u_1 t^{\mu_1} \dots t^{\mu_{m-1}} u_m h_n'^{-1} \dots t^{-\varepsilon_1} h_1^{-1}$$

et $h' = h_1 t^{\varepsilon_1} \dots t^{\varepsilon_{n-1}} h'_n$,

$$\gamma = h' t^{\mu_m} u_1 \dots t^{\mu_{m-1}} u_m h'^{-1}$$

Remarquons que l'on a $|h'| < |h|$. Seulement $t^{\mu_m} u_1 \dots t^{\mu_{m-1}} u_m$ n'est pas un conjugué cyclique de γ' , au sens où nous l'entendons. On distingue maintenant deux cas, selon si $n = 1$, ou $n > 1$.

Si $n = 1$. Puisque γ' est cycliquement réduit, l'élément $h' t^{\mu_m} u_1 \dots t^{\mu_{m-1}} u_m h'^{-1}$ est réduit. Or il est égal à γ qui est cycliquement réduit, et donc, $u_m h'^{-1} = \beta$ est un élément de $C_{\mu_{m-1}}$, ainsi,

$$\gamma = h' t^{\mu_m} u_1 \dots t^{\mu_{m-1}} u_m h'^{-1} = \beta^{-1} u_m t^{\mu_m} u_1 \dots t^{\mu_{m-1}} \beta$$

Et alors γ est conjugué à un conjugué cyclique de γ' par un élément de $C_{\mu_{m-1}}$.

Si $n > 1$.

$$\gamma = h_1 t^{\varepsilon_1} \dots t^{\varepsilon_{n-1}} h'_n t^{\mu_m} u_1 t^{\mu_1} \dots t^{\mu_{m-1}} u_m h_n'^{-1} t^{-\varepsilon_{n-1}} \dots t^{-\varepsilon_1} h_1^{-1}$$

Le membre de droite est de longueur supérieure à $|\gamma|$, et donc contient un pinch. Puisque h' , et $u_1 t^{\mu_1} \dots t^{\mu_{m-1}} u_m$ sont réduits, ce ne peut être que, $t^{\varepsilon_{n-1}} h'_n t^{\mu_m}$, ou $t^{\mu_{m-1}} u_m h_n'^{-1} t^{-\varepsilon_{n-1}}$. Or, $t^{\varepsilon_{n-1}} h'_n t^{\mu_m}$ ne peut pas être un pinch. En effet, si c'est le cas, alors on a $h'_n = h_n \phi^{-\mu_m} (h_{n+1}) \in C_{-\mu_m}$, et donc, puisque $\phi^{\mu_m} (h_{n+1}) \in C_{-\mu_m}$, $h_n \in C_{-\mu_m}$. En se rappelant que $\mu_m = \varepsilon_n$, on obtient que $t^{\varepsilon_{n-1}} h_n t^{\varepsilon_n}$ est un pinch, ce qui contredit le fait que h soit réduit.

Ainsi $t^{\mu_{m-1}} u_m h_n'^{-1} t^{-\varepsilon_{n-1}}$ est un pinch. C'est à dire, $\mu_{m-1} = \varepsilon_{n-1}$, et $u_m h_n'^{-1} = \beta \in C_{\mu_{m-1}}$.

$$\gamma = h_1 t^{\varepsilon_1} \dots t^{\varepsilon_{n-1}} h'_n t^{\mu_m} u_1 t^{\mu_1} \dots t^{\mu_{m-1}} \beta t^{-\varepsilon_{n-1}} \dots t^{-\varepsilon_1} h_1^{-1}$$

en remplaçant h'_n par $\beta^{-1} u_m$,

$$\begin{aligned}\gamma &= h_1 t^{\varepsilon_1} \dots t^{\varepsilon_{n-1}} \beta^{-1} u_m t^{\mu_m} u_1 t^{\mu_1} \dots t^{\mu_{m-1}} \beta t^{-\varepsilon_{n-1}} \dots t^{-\varepsilon_1} h_1^{-1} \\ \gamma &= h_1 t^{\varepsilon_1} \dots h_{n-1} \phi^{-\varepsilon_{n-1}} (\beta)^{-1} t^{\varepsilon_{n-1}} u_m t^{\mu_m} \dots t^{\mu_{m-2}} u_{m-1} \phi^{-\mu_{m-1}} (\beta) h_{n-1}^{-1} \dots t^{-\varepsilon_1} h_1^{-1}\end{aligned}$$

avec $\varepsilon_{n-1} = \mu_{m-1}$,

$$\begin{aligned}\gamma &= h_1 t^{\varepsilon_1} \dots h_{n-1} \phi^{-\mu_{m-1}} (\beta)^{-1} t^{\varepsilon_{n-1}} (u_m t^{\mu_m} \dots t^{\mu_{m-2}} u_{m-1} t^{\mu_{m-1}}) \\ &\quad t^{-\varepsilon_{n-1}} \phi^{-\mu_{m-1}} (\beta) h_{n-1}^{-1} \dots t^{-\varepsilon_1} h_1^{-1}\end{aligned}$$

et finalement, en posant $h'' = h_1 t^{\varepsilon_1} \dots h_{n-1} \phi^{-\mu_{m-1}} (\beta)^{-1} t^{\varepsilon_{n-1}}$,

$$\gamma = h'' (u_m t^{\mu_m} \dots t^{\mu_{m-2}} u_{m-1} t^{\mu_{m-1}}) h''^{-1}$$

et donc γ est conjugué, à un conjugué cyclique de γ' , par un élément h'' , réduit, et $|h''| < |h|$.

Ainsi, dans tous les cas, γ s'obtient à partir d'un conjugué cyclique de γ' , en conjuguant par un élément réduit, h' ou h'' , de longueur strictement inférieure à $|h|$, ce qui nous permet d'appliquer l'induction. ■

REFERENCES

- [BM] G.BURDE and K.MURASUGI, *Links and Seifert fibered spaces*, Duke Mathematical Journal **37** (1970), pp.89–93.
- [DD] W.DICKS et M.DUNWOODY, *Groups acting on graphs*, Cambridge University Press, 1989.
- [JS] W.JACO et P. SHALEN, *Seifert fibre space in 3-manifolds*, Memoirs of the A.M.S. **220** (1979).
- [LS] R.LYNDON et P.SCHUPP, *Combinatorial group theory*, Springer Verlag, 1976.
- [MKS] W.MAGNUS, A.KARASS, et D.SOLITAR, *Combinatorial group theory*, J.Wiley & sons, 1966.
- [Pr1] J-P.PRÉAUX, *Conjugacy problem in groups of oriented geometrizable 3-manifolds*, Topology **45** (2006) (1), pp.171-208.
- [Pr2] J-P.PRÉAUX, Phd Thesis, 2001, available at <http://www.cmi.univ-mrs.fr/~preaux>.
- [Ro] J.ROTMAN, *An introduction to the theory of groups*. Graduate Texts in Math. **148**, Springer Verlag, 1995.
- [Se] J-P.SERRE, *Arbres, amalgames, et SL_2* , astérisque **46**, Société Mathématiques de France (1977).
- [Th] W.THURSTON, *Three dimensional manifolds, Kleinian groups and hyperbolic geometry*, Bull. of the A.M.S. **6** (1982) (3), pp.357-381.